

VŠST LIBEREC  
Fakulta strojní  
Obor 23-21-8

Strojní zařízení pro chemický, potravinářský  
a spotřební průmysl - textilní stroje

Katedra textilních a oděvních strojů

Ideový návrh rotorového dopřádacího stroje BDA 10  
s navíjením příze na raketové cívky

KTS - 098

Richard Berger

Vedoucí práce: Ing. Zuzana Pěchotová,  
VŠST Liberec

Konzultent: Karel Vlček,  
Elitex Červený Kostelec

Rozsah práce a příloh

Počet stran: 38

Počet příloh: 4

Počet obrázků: 14

Počet výkresů: 2

Počet modelů: 0

Vysoká škola: strojní a textilní  
v Liberci

Katedra: textilních a oděvních  
strojů

Fakulta: strojní

Školní rok: 1986/87

## ZADÁNÍ DIPLOMOVÉ PRÁCE

(PROJEKTU, UMĚLECKÉHO DÍLA, UMĚLECKÉHO VÝKONU)

Richard Bergéra

pro

obor 23-21-8 strojní zařízení pro chemický, potravinářský a  
spotřební průmysl

Vedoucí katedry Vám ve smyslu nařízení vlády ČSSR č. 90/1980 Sb., o státních závěrečných zkouškách a státních rigorózních zkouškách, určuje tuto diplomovou práci:

Název tématu: Ideový návrh rotorového dopřádacího stroje BDA 10  
s navíjením příze na raketové cívky.

VYSOKÁ ŠKOLA STROJNÍ A TEXTILNÍ  
Ústřední knihovna  
Zásady pro vypracování: LIBEREC 1, STUDENTSKÁ 8  
PSČ 461 17

Na základě prostudování současného stavu rotorových dopřádacích strojů s navíjením příze na obří raketovou cívku stanovte:

- 1) Zkompletování hlavních parametrů stávající koncepce stroje BDA 10 s potřebnými změnami pro použití nového systému navíjení.
- 2) Ideový návrh rotorového dopřádacího stroje s navíjením příze na obří - raketové cívky v duchu následné automatizace smekání a automatické obsluhy při vysprávce přetahu.

V 38/87 S

Rozsah grafických prací:

Rozsah průvodní zprávy: 20 stran strojopisu formátu A4

Seznam odborné literatury:

1. Kol.: Stroje pro obří útkové cívky.  
1975, Textilbetrieb 93 č. 1/2

2. Kol.: Soukací stroje HACOBA pro raketové cívky.  
1971, XI, Melland Textilber. Int. 52, č. 11

3. Kol.: Křížem soukací automat pro výrobu velkorozměrových  
cívek.  
1978, ITB Spinnerei č. 4

Vedoucí diplomové práce: Ing. Zuzana Pěchotová

Datum zadání diplomové práce: 30. 9. 1986

Termín odevzdání diplomové práce: 11. 5. 1987



Prof. Ing. Vl. Prašil, DrSc.

Vedoucí katedry

Děkan

v Liberci ..... dne 30. 9. 86

Místopřísežně prohlašuji, že jsem diplomovou práci  
vypracoval samostatně s použitím uvedené literatury.

V Liberci, dne 11. 5. 1987

Berger Richard

Tento cestou bych rád poděkoval Prof. Ing. Vladimíru  
Prášilovi, DrSc., Ing. Zuzaně Pěchotové a Karlu Vlčkovi  
za cenné rady a připomínky při vypracování diplomové práce.

## Přehled použitých zkrátek a symbolů

AČZ ..... automat čištění a zapřádání

SMZ ..... smekací zařízení

ESBA ..... energetický blok SMZ a AČZ

ZC ..... zásobník cívek

ZD ..... zakladač dutinek

$a_1, a_2$  .... poloměry rozvinu kuželes /mm/

$a_1, b_1, c'$  .. poloměry dotyku třecích kotoučů /mm/

c ..... počet chodů rozvaděče

i ..... převod pro zpětný chod rozvaděče

I ..... výška kuželes /mm/

$O_{do}, O_D$  ... obvod na průměru  $d_o$ , D /mm/

$r_o$  ..... nejmenší poloměr kuželového rozvaděče /mm/

$r_{oc}$  ..... nejmenší poloměr návinu cívky /mm/

$r_p$  ..... poloměr bubínku podavače /mm/

$r_R$  ..... poloměr třecího kotouče rozvaděče /mm/

$r_x$  ..... obecný poloměr základního kuželes cívky /mm/

$r_1, r_2$  .... poloměry řemenic pro zpětný chod podavače /mm/

$R_1, R_2$  .... poloměry třecích kotoučů pro přímý a zpětný chod podavače /mm/

R ..... největší poloměr kuželového rozvaděče /mm/

$R_c$  ..... největší poloměr návinu cívky /mm/

$v_o$  ..... odtaiová rychlosť od svářadlné jednotky /m.s<sup>-1</sup>/

$v_N$  ..... průměrná navíjecí rychlosť /m.s<sup>-1</sup>/

$v_R$  ..... obvodová rychlosť rozvaděče na poloměru R /m.s<sup>-1</sup>/

$v_{re}$  ..... obvodová rychlosť rozvaděče na poloměru  $r_o$

/m.s<sup>-1</sup>/

$v_{r_{oc}}$  ..... obvodová rychlosť cívky na poloměru  $r_{oc}$  /m.s<sup>-1</sup>/

$v_{R_c}$  ..... obvodová rychlosť cívky na poloměru  $R_c$  /m.s<sup>-1</sup>/

x ..... délka površky kuželes /mm/

z ..... zdvih rozvaděče = x /mm/

$\alpha_o, \alpha_x, \alpha_R$  . poloviční úhel křížení na poloměru  $r_o, r_x, R$  /°/

$\alpha_c$  ..... úhel základního kuželes cívky /°/

$\beta$  ..... úhel výseče mezikruží rozvinu kuželes /°/

$\omega$  ..... úhlová rychlosť podavače při přímém chodu /s<sup>-1</sup>/

- $\omega_1$  ..... úhlová rychlosť podavače pri zpätnom chodu /s<sup>-1</sup>/  
 $\omega_2$  ..... úhlová rychlosť podavače hřídele pre zpätný  
chod podavače /s<sup>-1</sup>/  
 $\omega_c$  ..... úhlová rychlosť cívky /s<sup>-1</sup>/  
 $\omega_{hr}$  ..... úhlová rychlosť hřídele náhonu podavače a  
rozvaděče /s<sup>-1</sup>/  
 $\omega_R$  ..... úhlová rychlosť rozvaděče /s<sup>-1</sup>/

## OBSAH

Titulní list	1
Zadání diplomové práce	2
Prohlášení	3
Poděkování	4
Seznam použitých zkrátek a symbolů	5
Obsah	7
1.0 Úvod	8
2.0 Zkompletování dosavadních parametrů stroje BDA 10	9
2.1 Historie bezvřetenového dvořadacího stroje	9
2.2 Princip stroje	10
2.3 Stroj BDA 10	11
2.3.1 Sekce stroje	15
2.3.2 Snímací jednotka	16
2.3.3 Bočnice pohonu	17
2.3.4 Bočnice čítání	18
2.3.5 Skříň elektro	18
2.3.6 Automatika stroje BDA 10	19
3.0 Ideový návrh návinu obří raketové cívky na stroji BDA 10	21
3.1 Možnosti řešení	22
3.2 Návrh rozvaděče	25
3.3 Podavač příze	30
3.4 Výpočty náhonů podavače a rozvaděče	34
3.5 Princip stroje pro návin raketových cívek	35
4.0 Závěr	37
5.0 Seznam použité literatury	38

## 1.0 Úvod

V druhé polovině 20. století byla, vlivem neustále vzrůstající spotřeby textilních produktů, nutnost zefektivnit technologii výroby příze a byly tedy vyvinuty nové technologie. Zaváděním nových metradiciálních principů výroby se proces předení proti klasické technologii podstatně zkrátil a mohly být vymezeny některé operace, které bývaly u klasických technologií nutné.

U klasické technologie, tj. u prstencového předení prochází pramen, který je už upravený a ztenčený z předchozích technologií, prodlužovacím ústrojím přes očko a rotující běžec a navíjí se na vřeteno. Tím jsou tvorba příze a její navíjení nerozlučně spojeny v jediné operaci, kdežto u bezvřetenového předení jsou tyto operace odděleny. U klasické technologie také vlivem značné hmotnosti rotující hmoty a nemožnosti vyvážení vřetena s přízí nelze podávací rychlosť zvyšovat nad  $15 - 20 \text{ m} \cdot \text{min}^{-1}$ , kdežto u rotorových strojů rotuje pouze malý kousek /konec/ příze a navíc rotor lze vyvážit, čímž je možno v současnosti dosahovat i  $10\times$  vyšších rychlostí než u klasické technologie předení.

U bezvřetenových strojů probíhá předení s volným koncem, tzn. že z pramene jsou vyčesávána jednotlivá vlákna, která vlivem podtlaku přicházejí na sběrný povrch rotoru a zde se nabalují na volný konec příze. Tím dochází k oddělení tvorby příze od navíjení a maskytla se tak možnost navíjet přímo na takové cívky, které se budou používat v dalších operacích textilního průmyslu při zpracování do hotového výrobku, jako jsou tkaniny, pleteniny, atd. a není ve většině případů nutno přesoukovávat přízi z vypoředených cívek. Po vlastním srádacím procesu je nejdůležitějším procesem navíjení příze a protože jsou tyto dvě operace odděleny, je možno navíjet na takové typy cívek, jaký je vhodný pro další zpracování.

Mým úkolem je ideové řešení mávinu raketové cívky na stroji BDA 10 a zkompletování dosavadních parametrů těchto strojů.

## 2.0 Zkompletování dosavadních parametrů BDA 10

### 2.1 Historie bezvřetenového dopřádacího stroje

Umění příst je velmi staré. Nejprve to byla pravděpodobně přeslice a vřeteno. Velkého zrychlení výroby příze přišlo v první polovině 16. století s vývojem saského kolovratu s křídlovým vřetenem. V první polovině 19. století dochází k vývoji předení pomocí prstence a běžce, které je dodnes používáno.

Přestože se již koncem 19. století objevily první myšlenky na novou a opravdu revoluční technologii bezvřetenového předení, bylo nutno si na realizaci myšlenek počkat až do 60. let našeho století. V této době se myšlenkou bezvřetenového předení začalo zabývat Československo. Od experimentálního modelu, který ověřil princip bezvřetenového předení a který již v roce 1960 pracoval, uplynulo jen 5 let a v roce 1965 byl na brněnském veletrhu již předveden stroj KS 200. Od této doby začala tato technologie vzbuzovat velký zájem. V srpnu 1967 byla u nás spuštěna do provozu první bezvřetenová přádelna na světě, která byla vybavena deseti i později průmyslově vyráběnými stroji BD 200.

Zůstali jsme velkým výrobcem i vývozcem strojů typu BD, přestože se v této době začalo bezvřetenovým předením zabývat mnoho světových firem. Typ BD 200 byl základem dlouhé vývojové řady, která nyní pokračuje typy řady BDA. V Československu bylo vyrobeno více než 6 milionů sořádacích jednotek bezvřetenových dopřádacích strojů. Téměř polovina všech bezvřetenových strojů, které jsou předmětem mezinárodního obchodu, nese značku Elitex. Z naší celkové produkce těchto strojů je exportováno 95%. Výroba samostatných sořádních jednotek je určena pro zahraničí na celých 100%.

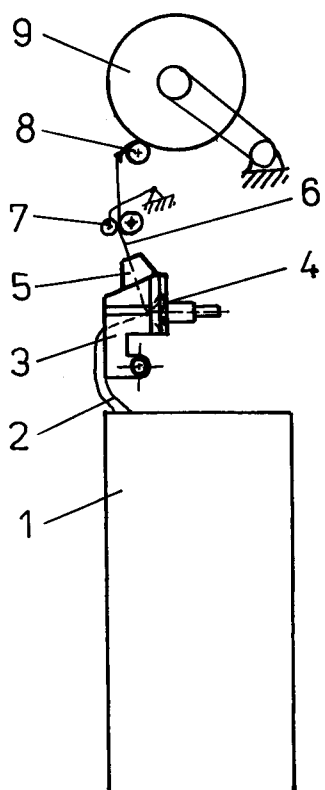
V současné době je ve výrobě typ BDA 10. Je to plně automatizovaný stroj v oblasti čištění rotorů, zapřádání, výměny plných cívek, vlnění prázdných dutinek a ukládání

plných cívek do zásobníku cívek. Navíc je tento typ přizpůsoben i pro předení méně kvalitních materiálů, neboť jeho součástí je i zařízení na vylučování nečistot z rozvolněného vláknitého materiálu v ojednocovacím ústrojí. Plná automatizace bezvřetenových dopřádacích strojů snižuje námahu obsluhy, šetří pracovní síly a zvyšuje kvalitu vyrobeného zboží.

## 2.2 Princip stroje

Stroje řady BD a BDA využívají bezvřetenový rotorový snížadlový systém.

Průchod materiálu strojem je naznačen na obr. 2.1 a je zdola nahoru.



- |   |                      |
|---|----------------------|
| 1 | konev                |
| 2 | pramen               |
| 3 | ojednocovací ústrojí |
| 4 | zákrutové ústrojí    |
| 5 | čidlo přetrhu        |
| 6 | příze                |
| 7 | odtahové ústrojí     |
| 8 | navíjecí ústrojí     |
| 9 | X cívka              |

Obr. 2.1

Pramen, který je uložen v konvi je odtahován ojednocovaným ústrojím sprádní jednotky. Prochází zde zhušťovačem přes podávací váleček k válečku vyčesávacímu, který má zubový potah a tím vyčesává jednotlivá vlákna z pramenu a dopravuje je k původnímu kanálu. Odtud jsou vlivem rychlého otáčení rotoru s ventilačními otvory podtlakem dopravována ojednocená vlákna tangenciálně na separátor a odtud na skluzovou stěnu rotoru. Po této stěně vlivem odstředivých sil sklouznou do sběrné drážky rotoru. Zde se nabaluje na volný konec příze a vlivem otáčení tohoto volného konce současně s rotorem dochází k zákrutu příze. Rotor má tedy 3 základní funkce a to:

1. vytváří podtlak vlivem otáčení a vhodně řešených ventilačních otvorů,
2. vlivem otáčení dochází ke klouzání vláken do sběrné drážky,
3. se takto tvořená vlákenná stužka vlivem otáčení rotoru zakrucuje.

Ze sběrné drážky je příze odtahována přes málevku středem zařádací trubice přes čidlo přetahu a přes rozváděcí tvě pomoci odtahových válečků. Od odtahových válečků příze pokračuje dále nahoru a je navíjecím ústrojím navíjena na křížovou cívku.

### 2.3 Stroj BDA 10

Posledním naším sériově vyráběným typem je bezvřetenový rotorový dopřádací stroj BDA 10, který je již vybaven automatem pro čištění a zapřádání a automatickou výměnou cívek. Stroj je oboustranný a je stavebnicové konstrukce. Rozlišení různých provedení strojů BDA 10 je zpracováno v tabulce 2.1, přičemž základní provedení má označení BDA 10 - 131114. V tomto provedení má stroj 12 sekcí s celkem 192 snřádacími jednotkami.

Základní parametry stroje BDA 10 /rozměry, hmotnosti, otáčky a pod./ jsou zpracovány v tabulce 2.2.

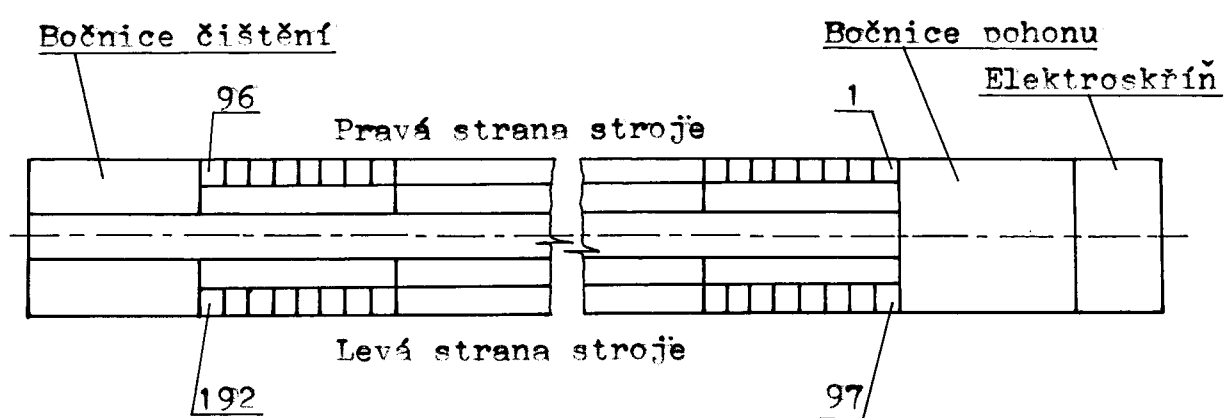
Tabulka 2.1 Rozlišení provedení strojů BDA 10

BDA 10	x	x	x	x	x	x	x
<u>Materiálová charakteristika</u>							
1. bavlna a směsi, kde převládá bavlna /vigořové materiál na zvláštní objednávku/							
2. viskoza a směsi, kde převládá viskoza /délka střihu do 60 mm na zvláštní objednávku/							
3. syntetické materiál a směsi, kde převládají syntetické materiál /délka střihu do 60 mm na zvláštní objednávku/							
<u>Otačky rotorů</u>							
1. do $40\ 000\ min^{-1}$							
2. do $60\ 000\ min^{-1}$							
3. do $80\ 000\ min^{-1}$							
<u>Automatické prvky</u>							
1. stroj se SMZ 10 a AČZ 10 se spřádní jednotkou CU 12 - dékový návin							
2. stroj bez SMZ a bez AČZ se spřádací jednotkou CU 1 - na zvláštní objednávku se SMZ 10							
<u>Provedení stroje</u>							
1. bez parafinovacího zařízení							
2. s parafinovacím zařízením							
<u>Elektroinstalace</u>							
1. 380 V/50 Hz							
2. 415 V/50 Hz							
3. 440 V/60 Hz							
4. 500 V/50 Hz							
<u>Počet sekcí</u>							
1. 2 sekce							
2. 8 sekcí							
3. 10 sekcí							
4. 12 sekcí							

**Tabulka 2.2 Technické a technologické údaje stroje**

Celková délka stroje základního	25 800 mm
s automatikou	28 280 mm
Celková délka sekcí	22 200 mm
Rozteč odsávacích kanálů	23 612 mm
Šířka stroje bez konví	1 200 mm
s konvemi 14"	1 430 mm
s konvemi 16"	1 750 mm
Šířka stroje bez automatiky	1 200 mm
s automatikou	2 000 mm
Výška stroje bez automatiky	1 720 mm
s automatikou	2 600 mm
se signalizací	3 050 mm
Půdorovsná plocha stroje základního	30,96 m <sup>2</sup>
s konvemi 14"	36,89 m <sup>2</sup>
bez automatiky	45,15 m <sup>2</sup>
s konvemi 16"	56,56 m <sup>2</sup>
Celková hmotnost stroje základního	14 700 kg
s automatikou	17 420 kg
Celková hmotnost AČZ	180 kg
Celková hmotnost SMZ	90 kg
Celková hmotnost ES BA	2 450 kg
Rozteč spřádacích jednotek	216 mm
Druh zpracovávaného materiálu	bavlna, viskoza, synetické materiály a jejich směsi
Předkládaný pramen	6 250 - 2 500 Tex
Rozsah jemnosti využídané příze	166 - 14,5 Tex
Strojní rozsah odtauhové rychlosti	23,9 - 162,0 m·min <sup>-1</sup>
Strojní rozsah průtahů	14,0 - 273,0
Otáčky rotorů	36 000, 40 000; 50 000, 55 000, 60 000; 65 000, 70 000, 75 000, 80 000 min <sup>-1</sup>

Otáčky vývěsávacích válečků	5 000, 5 500, 6 000, 6 500, 7 000, 7 500, 8 000, min <sup>-1</sup>
Druh předlohy	Ø 14 nebo 16 x 36"
Rozměr dutinky pro přízi	Ø 355 nebo 405 x 914 mm/ Ø 2½ / Ø 2¾ x 7"
Rozměr cívky s přízí	Ø 63 / Ø 70 x 170 mm/ Ø 300 x 150 mm
Hmotnost návinu příze/při speci- fické váze návinu 0,4 kg · dm <sup>-3</sup> /	4,15 kg



Obr. 2.2

Stroj má na jedné straně bočnici čištění a na druhé straně bočnici pohonu a skřín elektro. Mezi těmito bočnicemi je 12 sekcí. Každá sekce obsahuje 16 snížadacích jednotek. Tímto rozdelením stroje na jednotlivé montážní celky je podstatně zrychlen a usnadněna montáž stroje u odběratele.

Stroj BDA 10 má tyto hlavní části:

- 1 - sekce stroje
- 2 - bočnice pohonu
- 3 - bočnice čištění
- 4 - skřín elektro

- 5 - smekací zařízení /SMZ/
- 6 - automat čištění a zapřádání /AČZ/
- 7 - energetický blok SMZ a AČZ /ES BA/
- 8 - zakladač dutinek /ZD/
- 9 - zásobník cívek /ZC/

### 2.3.1 Sekce stroje

Sekce stroje obstarává vlastní sprádací proces. Jsou zde umístěny sprádací jednotky CU 12, které jsou při porušení vyměnitelné i za chodu stroje, tzn. že se tím zkracuje doba nutná na opravy. Dále je tu odtahový a navíjecí mechanismus. Navíjecí mechanismus je zkonstruován na navíjení válcových cívek. Sekce je oboustranná a má po každé straně 8 sprádacích míst.

Každá sekce může po připojení bočnic pracovat buď samostatně nebo ve spojení s dalšími /až 11/ sekciemi a tedy tvoří samostatný montážní celek. Má své postranice, které se dělí na spodní a horní část a navzájem jsou propojeny pomocí profilů a tudíž tvoří rám stroje. Na rámu jsou přichyceny všechny mechanismy nutné pro předení. Výklopná část sprádací jednotky je otočně zachycena na náhonu podávacích válečků. Podávací hřídele jsou umístěny na příčných konzolách nosné části sekce stroje. Rotor je uložen v tělese, které je otočně uloženo na výklopném ojednocovacím tělesu. Rotor je poháněn tangenciálním řemenem přes celý stroj. Vzduch, který vzniká rotací sprádecího rotoru je od ventilačních otvorů odváděn do kanálu odvodu technologického vzduchu. Kanál má postupně se zvětšující průřez. Pod tímto kanálem technologického vzduchu je kanál odvodu nečistot. Tento kanál odvádí nečistoty oddělené při vyčesávání.

Čidlo přetrhu je spojeno s ojednocovacím tělesem a zároveň s ním se také vyklápi. Nad sprádní jednotkou jsou umístěny odtahovací válečky, mezi nimiž je přitlak vyvozen od pružiny zapřádací páky. Na zapřádací páce může být umístěno parafinovací zařízení. Odtud je příze

vedena přes hranu odsávacího kanálu třetí ruky a pomocí samonaváděcích vodičů navinována přes navíjecí válec na křížovou cívku. Tato cívka je umístěna v navíjecích rámech, které jsou doplněna zařízením pro zvednutí navíjené cívky odnavíjecího válce při přerušení předení. Kanál třetí ruky i toto zařízení usnadňuje zapředení při výměně vlné cívky za prázdnou dutinku a při přetrhu.

V podélné vzděře je vedena elektroinstalace. K napájení kontrolních čidel správné jednotky a elektromagnetických spojek podávání sprádacích jednotek slouží přípojnice. Nad kanálem technologického vzduchu je umístěn dopravník plných cívek, který je odvádí na okraj stroje, kde se mohou automaticky ukládat do spirálového dopravníku.

Nad celým tímto základním strojem se nachází tzv. energoblok, což je nosná konstrukce pro AČZ a SMZ.

### 2.3.2 Sprádací jednotka CU 12

Na každé sekci stroje je umístěno 16 sprádacích jednotek s roztečí 216 mm. Je určená pro stroj BDA 10 a tvoří natolik samostatný celek, že jí lze vyměnit i za chodu stroje.

Pramen z konve prochází čelním krytem a je podáváním ústrojím doprovázen k ústrojí ojednocovacímu. Podávací ústrojí se skládá ze stolečku se zhušťovačem a vlastního podávacího válečku. Pramen postupuje k vyčesávacímu válečku, který má různé pilkové potahy, podle druhu materiálu, který zpracovává. Kromě vyčesávacího válečku je součástí ojednocovacího ústrojí i výmenné vodítka. Zde jsou oddělovány ojednocená vlákna od nečistot. Ojednocená vlákna jsou umášena proudem vzduchu na rychle se otáčející sprádací rotor, kde dochází k vlastní tvorbě příze. Vlákna se zachycují na volný konec příze a tím, že tento konec rotuje, dostává tato příze zákrut.

Příze je odtahována vývodkou přes kontrolní čidlo, které má za úkol přerušit přísun pramenu při přetrhu,

umožňuje jednotlivé i hromadné zapředení a rozsvícení červeného světla signalizuje přetrh, který nelze odstranit automatikou.

Spřádací jednotka je konstrukčně řešena tak, že je možno ji vyklopit do 2 poloh /45°, 90°/. První poloha je určena pro obsluhu stroje a druhá, více vyklopená slouží pro opravy a údržbu spřádací jednotky.

### 2.3.3 Bočnice pohonu

V bočnici pohonu jsou umístěny 3 nejdůležitější elektromotory. Jeden pro pohon spřádacích rotorů a pomocí převodního vedení odtahové a navíjecí válce, skřín rozvádění obou stran stroje a přes převodovou skřín s přesouváčem zajišťuje i náhon podávacích hřídelí. Další dva elektromotory nahánějí vyčesávací válečky, každý pro jednu stranu stroje.

Tebulka 2.3 Pohon stroje

Pohon spřádacího ústrojí	dvěma tangenciálními centrálními řemeny
Pohon sjednocovacího ústrojí	dvěma tangenciálními centrálními řemeny
Elektromotor spřádacího ústrojí	
sjednocovacího ústrojí	1 x 38 kW - M1
ventilátoru čištění	2 x 4 kW - M2, M3
ventilátoru třecí ruky	1 x 4 kW - M4
pohonu dopravníku	1 x 3 kW - M5
pohonu smekače	1 x 0,25 kW - M6
pohonu pojazdu automatu	1 x 0,18 kW
čištění s zapřádání	
pohon funkce automatu	1 x 0,18 kW
čištění a zapřádání	
pohon dopravy dutinek	1 x 0,8 kW
ve stroji	
pohon zakladače dutinek	1 x 0,18 kW

<b>Elektromotor pohon regulace variátoru</b>	
odtahu	1 x 0,015 kW
<b>pohon regulace variátoru</b>	
prítahu	1 x 0,015 kW
<b>celkový instalovaný</b>	
výkon	58,8 kW
<b>příkon stroje při 1,192 SJ/</b>	
80 000/160 m.min <sup>-1</sup>	46,0 kW
<b>Transformátor napájení sběrnic</b>	1 x 3 kW
<b>napájení ovládacích</b>	
obvodů	1 x 1 kW

#### 2.3.4 Bočnice čištění

V bočnici čištění je umístěn transportní ventilátor, který zajišťuje odvod nečistot buď:

- do košů sběračů nečistot v bočnici čištění
- centrálním odvodem nečistot přímo pod podlahu stroje, kde je napojen na kanál odvodu technologického vzduchu
- centrálním odvodom nečistot pod podlahou stroje s napojením na potrubí odvodu nečistot.

Dále je zde umístěn vícestupňový ventilátor, který vytváří podtlak pro smekání plných cívek a pro výměnu za prázdnou dutinku při současném vytváření zálohy příze na pravé straně dutinky. Ještě je zde umístěn elektromotor pro pohon dopravníku a dále ovládací skřín dopravníku.

#### 2.3.5 Skřín elektro

Pomocí skříně elektro můžeme centrálně řídit provoz celého stroje. Kromě ovládání dopravníku cívek je zde umístěno ovládání a jištění všech elektromotorů a přístroje pro ovládání funkcí stroje.

Elektronické zařízení se skládá z centrální části ES 1 /skřín elektro/ a dále z dvojic desek, které jsou umístěny v každé sekci. První řídí provoz sprádacích jednotek a přenáší informace pro sběr dat. Druhá řídí zvedání navijecích ramen při přetahu příze.

- Elektronika na BDA 10 zajišťuje dále tyto funkce:
- řídí hromadné zapřádání a zastavemí stroje
  - odměřování délky návinu na jednotlivých cívkách -
    - po dosažení navolené délky se přeruší předení
  - měření strojních parametrů, tj. odtahové a podávací rychlosti, otáček spředacích rotorů a výčešávacích válečků
  - sběr dat z jednotlivých spředacích jednotek sleduje jejich okamžitý stav a vyhodnocuje tyto údaje:
    - přetrvávost na tisíc vreten / hod, celkový počet přetrváv, výběr spředací jednotky a nejvyšším počtem přetrváv, produkci stroje, atd.
  - možnost připojení nadřízeného sběru dat, který umožňuje shromažďování a vyhodnocování dat z více strojů
  - signalizuje závady za provozu stroje pomocí majáku, který je umístěn nad skříní elektro.

Komunikace s mikropočítačem stroje je možná pomocí klávesnice a osmimístného zobrazovače, které jsou umístěny na skříni elektro.

#### 2.3.7 Automatika stroje BDA 10

V současné době je ještě na stroj BDA 10 automatika ve vývoji.

K automatice patří smekací zařízení, které pojíždí po vnitřní dráze stroje a má označení SMZ 10. Smekací zařízení smekne z ramen plnou cívku, která se skutálí do prostřed stroje, kde se vohvuje dopravník, který dopraví cívku na konec stroje. Místo této plné cívky vloží mezi navijecí ramena prázdnou dutinku.

Další částí nadstavby pro automatiku je energický blok. Energetický blok /EBSA 10/ slouží jako zdroj elektrické energie, podtlakového vzduchu a současně jako pojízdrová dráha smekacího zařízení SMZ 10 a automatu čištění a zapřádání AČZ 10. Dále EBSA 10 obsahuje dutinkové hospodářství, které slouží k plnění technologického zásobníku dutinek v SMZ 10. EBSA 10 je proveden jako ná-

stavba stroje a je sestaven z několika základních celků. Jsou to vedení pro SMZ 10 a AČZ 10, sběrnice SMZ 10 a AČZ 10, dutinková dráha, dopravníkový řetěz, elektrozařízení a vzduchotechnické kanály.

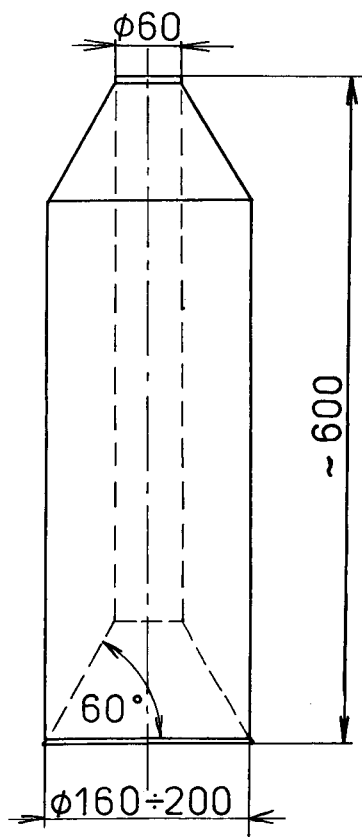
Po těchto vedeních pojíždí automat čištění a zapřádání AČZ 10, slouží k automatické likvidaci přetrhu příze ve sořidací jednotce. To znamená, že AČZ 10 vyčistí sořidací jednotku, vzhledá přetrženou přízi a znova ji zapřede. AČZ 10 může být také použit v režimu stroje pro výběrový smek nebo může být řízen centrálním elektrickým zařízením při cyklickém čištění spřádních jednotek AČZ 10 se dá rozdělit na několik hlavních částí. Je to převodová a vačková skříň a dále levé a pravé bočnice. Převodová skříň obsahuje dvě natáčivá pojezdová kola a obě bočnice mají po jednom opěrném kolečku. Pojezdová kola, z nichž jedno je hnací, se pohybují po kolejnici na energetickém bloku, kde je také trolejové vedení, odkud je AČZ 10 přes sběrné ústrojí napájen. Podtlakový vzduch AČZ 10 odebírá ze vzduchotechnických kanálů energetického bloku. Opěrná kolečka se opírají o indikační lišty spřádacích jednotek, odkud také bere AČZ 10 signály pro řízení své činnosti. Vlastní činnost AČZ 10 vykonávají mechanismy, které jsou umístěny mezi dvěma bočnicemi. Časování a ovládání vlastních mechanismů se provádí pomocí vaček vačkové skříně, která je poháněna elektrickým motorem. V pravé bočnici a na vačkové skříni jsou umístěna elektrozařízení.

Automatika stroje BDA 10 přispívá velkou měrou k ulehčení jednotvárné lidské práce a šetří pracovní síly.

### 3.0 Ideový návrh rotorového dopřádacího stroje s návinem obří raketové cívky

Mým úkolem v této druhé části diplomové práce je pokusit se o návrh návinu raketové cívky na stroji BDA 10.

Raketová cívka, jejíž požadované rozměry mi bývají při konzultaci uvedeny /obr. 3.1/, má řadu výhod i nevýhod.



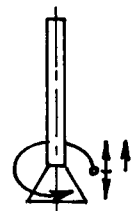
Hlavní výhodou této cívky je snadný odtah příze při bezbalónovém odtahu, tj. při odtahu nižší rychlostí z netočící se cívky. Díky kuželovitosti vrstev, z které je odtahováno, je při tomto odtahu „přes hlavu“ ještě lepší odtah, než u kuželových cívek. Hlavní nevýhodou, pro kterou tyto cívky nezaznamenaly velké rozšíření, je, že se při odtahu několik posledních vrstev smekne naráz a tím dojde v brzdičkách, čističích příze a podobných zařízeních k zamotání příze a tím k přetrhu.

Domnívám se, že by se tato nevýhoda raketových cívek dala alespoň částečně zlepšit nebo odstranit tím, že by základní kužel dutinky byl polepen materiálem, s kterým by příze měla koeficient tření stejný, nebo ještě lepší, než je mezi jednotlivými vrstvami příze na cívce. Tímto materiálem by mohl být např. filc nebo samet.

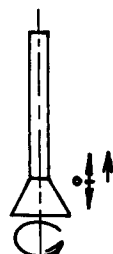
### 3.1 Možnosti řešení

Návin raketové cívky lze teoreticky realizovat několika způsobů, které jsem rozdělil do 8 skupin podle pohybu vodiče nitě a cívky:

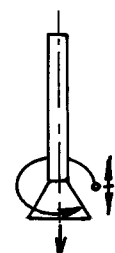
1. Cívka stojí a vodič koná otáčivý, kmitající i ustupující pohyb.



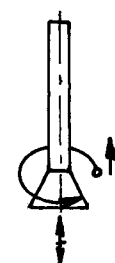
2. Cívka se otáčí a vodič kmitá a ustupuje.



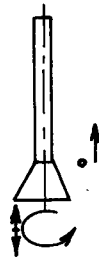
3. Cívka ustupuje a vodič koná otáčivý a kmitající pohyb.



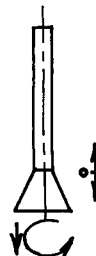
4. Cívka kmitá a vodič koná otáčivý a ustupující pohyb.



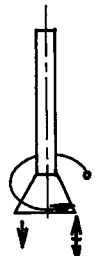
5. Cívka se otáčí a kmitá a vodič ustupuje.



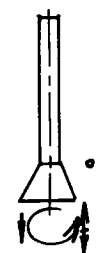
6. Cívka se otáčí a ustupuje a vodič kmitá.



7. Cívka kmitá a ustupuje a vodič končí otáčivým pohyb.



8. Cívka se otáčí, kmitá i ustupuje a vodič stojí.

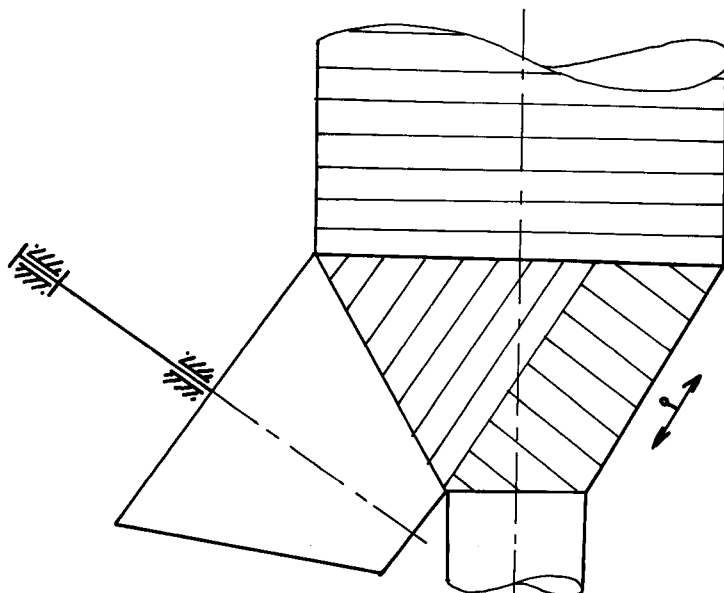


Případy 4., 5., 7., 8. jsou z hlediska dynamického velmi nenáznivé, neboť při této velikosti a tedy velké hmotnosti cívky bylo nutno konat poměrně rychlý kmitavý pohyb s cívkou. U případů 1., 2., 3. by mechanismy uskutečňující tento pohyb byly poměrně složité. Podle mého názoru je nejjednodušší 6. princip, neboť ustupování cívky lze řešit tak, že cívka má svislou osu, je obrácena základním kuželem nahoru a opřena o opěrný kužel /obr. 3.2 - 3.4/, čímž cívka ustupuje sama díky tomu, že mezi opěrným kuželem a základním kuželem dutinky přibývá příze.

Tento 6. princip lze uskutečnit hned několika

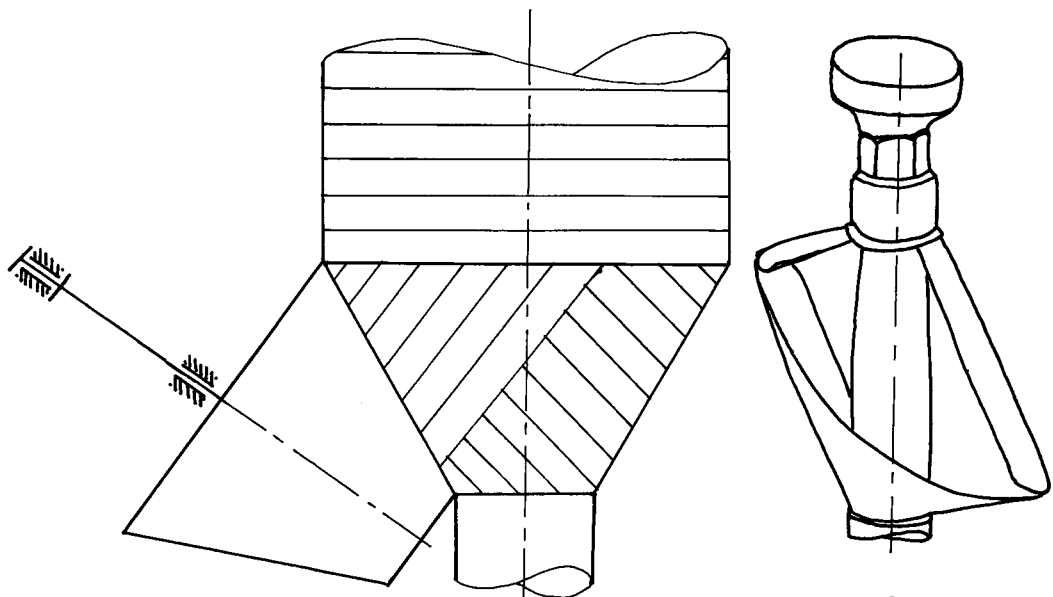
mechanismu, kde postavení cívky i opěrného kužele je u všech mechanismů stejné.

Na obr. 3.2 je vodičem nitě očko, které koná kmitavý pohyb.



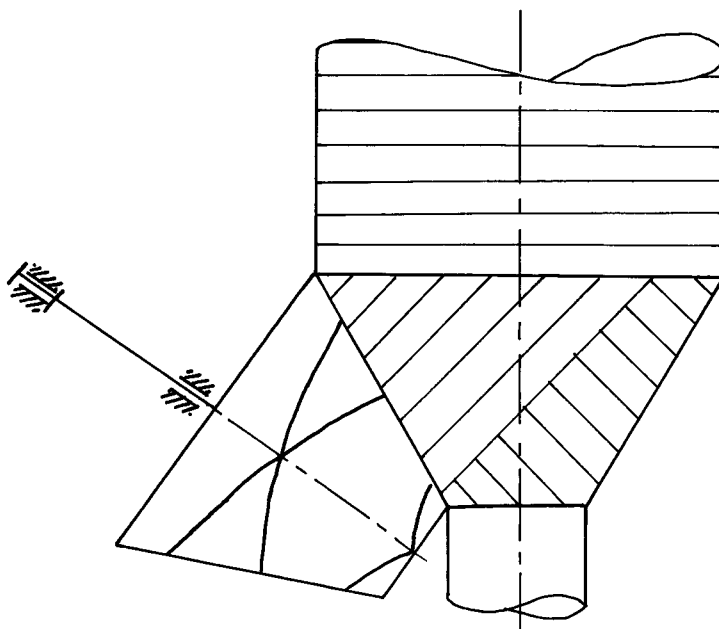
Obr. 3.2

Na obr. 3.3 rozvádí nit jakési „křídélko“ nebo rozváděcí vačka.



Obr. 3.3

Na obr. 3.4 je příze rozváděna pomocí kuželového rozvaděče, což je vlastně drážka utvořená v povrchu opěrného kužele a navíc je tímto kuželem cívka přímo naháněna a tím odpadá jakékoli jiný rozvaděč.



Obr. 3.4

### 3.2 Návrh rozvaděče

Z předešlých možností jsem vybral navíjení pomocí kuželového rozvaděče s rozváděcí drážkou.

Abv byl zajištěn nohou cívky bez prokluzu je nutno zachovat tuto podmíinku

$$\frac{v_{R_o}}{v_r} = \frac{v_{R_c}}{v_{R_c}} \quad /3.1/$$

Při úpravě

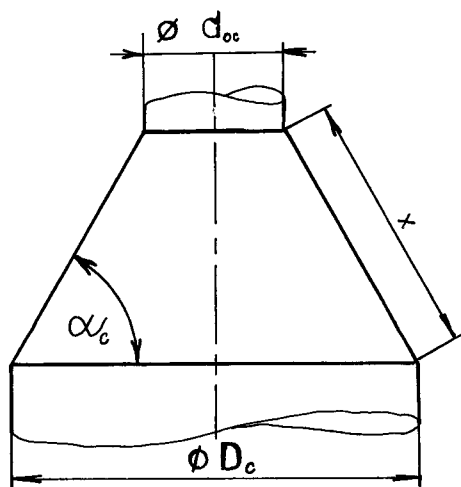
$$\frac{\omega_R \cdot r_{oc}}{\omega_R \cdot R} = \frac{\omega_c \cdot r_{oc}}{\omega_c \cdot R_c} \quad /3.2/$$

dostaneme

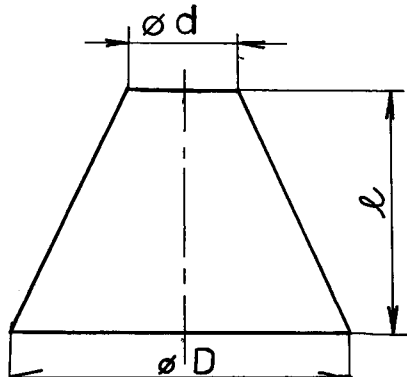
$$\frac{d_o}{D} = \frac{d_{oc}}{D_c} \quad /3.3/$$

Z obr. 3.5, kde je schematicky naznačen navíjený kužel cívky, plvne

$$x = \frac{1}{2} /D_c - d_{oc}/ : \cos \alpha_c = 120 \text{ mm} \quad /3.4/$$



Obr. 3.5



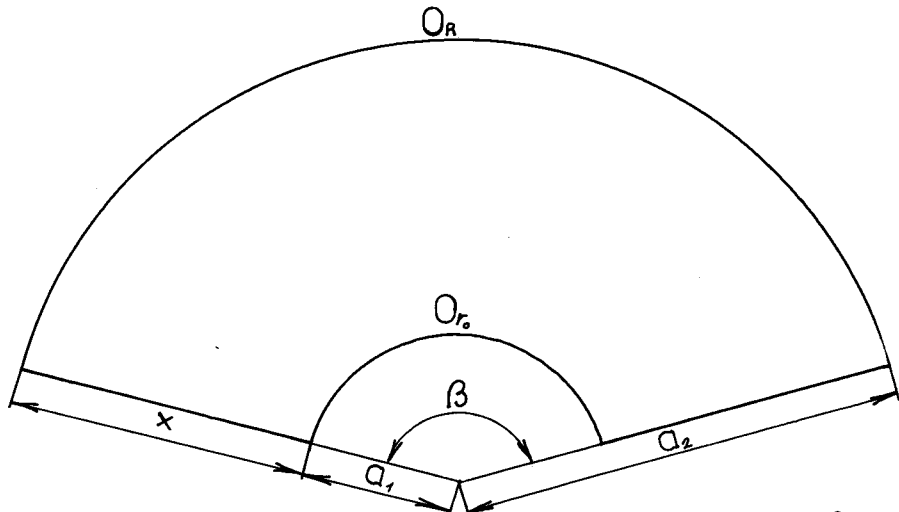
Obr. 3.6

Z obr. 3.6 plyne výška rozváděče

$$l = \sqrt{x^2 - (\frac{D-d}{2})^2} \quad /3.5/$$

Vrcholový úhel rozvinutého kuželetu (obr. 3.7)

$$\beta = \frac{180}{\pi} \cdot \left( \frac{\theta_D - \theta_d}{x} \right) \quad /3.6/$$



Obr. 3.7

$$a_1 = \frac{\theta_d \cdot 180}{\pi \cdot \beta} \quad /3.7/$$

$$a_2 = \frac{\theta_D \cdot 180}{\pi \cdot \beta} \quad /3.8/$$

Volím 3 různé velikosti rozváděcího kuželet:

Kužel A

$$d_o = 40 \text{ mm}$$

$$D = 120 \text{ mm}$$

$$\beta = 120^\circ$$

$$O_d = 125,66 \text{ mm}$$

$$O_D = 376,99 \text{ mm}$$

$$l = 113,14 \text{ mm}$$

Kužel B

$$d_o = 50 \text{ mm}$$

$$D = 150 \text{ mm}$$

$$\beta = 150^\circ$$

$$O_d = 157,08 \text{ mm}$$

$$O_D = 471,24 \text{ mm}$$

$$l = 109,09 \text{ mm}$$

Kužel C

$$d_o = 60 \text{ mm}$$

$$D = 180 \text{ mm}$$

$$\beta = 180^\circ$$

$$O_d = 188,50 \text{ mm}$$

$$O_D = 565,49 \text{ mm}$$

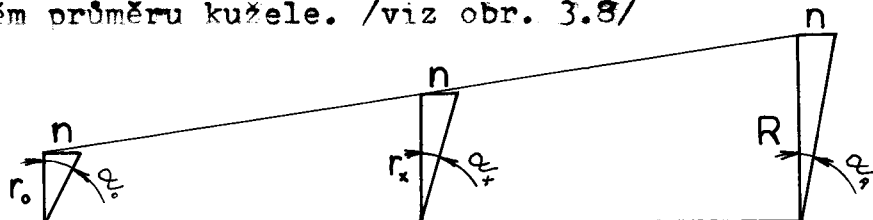
$$l = 103,92 \text{ mm}$$

Hodnoty  $a_1$  a  $a_2$  vycházejí pro všechny 3 kužele stejné:

$$a_1 = 60 \text{ mm}$$

$$a_2 = 180 \text{ mm}$$

Raketová cívka se vyznačuje tím, že vrstva, na kterou se navýší, má stále stejně rozměry. Při konstantních otáčkách rozvaděče a tedy i cívky dostaváme stále stejnou obvodovou rychlosť pro určitý poloměr kuželet, která nám s rostoucím poloměrem roste. Tím nám však klesá úhel křížení a tedy maximální úhel křížení bude na malém průměru kuželet. /viz obr. 3.8/



/Literatura č.5 str. 74/

Obr. 3.8

Z těchto trojúhelníků vychází

$$\operatorname{tg} \alpha_o \cdot r_o = \operatorname{tg} \alpha_x \cdot r_x$$

/3.9/

$$\alpha_x = \arctg / \frac{r_o}{r_x} \cdot \operatorname{tg} \alpha_o /$$

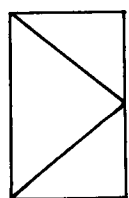
/3.10/

Tento poloviční úhel křížení lze také spočítat podle vzorce /Literatura č.5 str. 71/

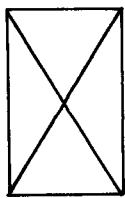
$$\alpha_x = \arctg \frac{z}{\pi \cdot c \cdot d_x}$$

/3.11/

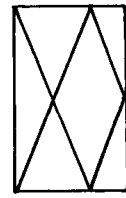
kde c je počet chodů rozvaděče, který určíme z obr. 3.9



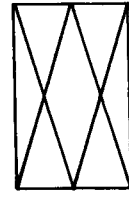
$c = 0,5$



$c = 1$



$c = 1,5$



$c = 2$

Obr. 3.9

Velký úhel křížení je nežádoucí v bodech obratu, tj. v bodech na okrajích rozvaděče, kde se mění smysl rozvádění příze a proto může být poloviční úhel křížení maximálně  $30 - 40^\circ$ . Zároveň je žádoucí co nejménší počet křížení drážky rozvaděče a na této křížovatce, nesmí být úhel křížení příliš malý, aby nedocházelo k přeskoku příze do jiné drážky. U kuželového rozvaděče se určují počty chodů rozvaděče podobně, jako to je naznačeno u válcového rozvaděče na obr. 3.9, pouze s tím rozdílem, že poloviční úhel křížení se mění.

V tabulkách 3.1, 3.2 a 3.3 jsem zpracoval podle vzorce 3.11 hodnoty polovičního úhlu křížení pro 3 různé velikosti kuželů a pro 4 různé počty chodů rozvaděče.

Rozvaděč A<sub>0,5</sub> je vzhledem k maximálnímu polovičnímu úhlu křížení zcela nepoužitelný. Dalsí 3 drážky rozvaděče jsou naznačeny v příloze č.1, kde jsem rozvaděč A<sub>1,5</sub> vyznačil silně, protože se mi jeví nejdříjatelnější. Pro další 2 kužele platí totéž. Drážky rozvaděče B jsou zpracovány v příloze č.2 a drážky rozvaděče C v příloze č.3.

Kužel A $d_o = 40 \text{ mm}, D = 120 \text{ mm}, l = 113,14 \text{ mm}$ 

označení	$A_{0,5}$	$A_1$	$A_{1,5}$	$A_2$
$d / \text{mm}/$	$c = 0,5$	$c = 1$	$c = 1,5$	$c = 2$
40	$62^{\circ}21'$	$43^{\circ}40'$	$32^{\circ}28'$	$25^{\circ}31'$
50	$56^{\circ}47'$	$37^{\circ}22'$	$26^{\circ}39'$	$20^{\circ}54'$
60	$51^{\circ}51'$	$32^{\circ}28'$	$22^{\circ}59'$	$17^{\circ}39'$
70	$47^{\circ}30'$	$28^{\circ}37'$	$19^{\circ}59'$	$15^{\circ}15'$
80	$43^{\circ}40'$	$25^{\circ}31'$	$17^{\circ}39'$	$13^{\circ}25'$
90	$40^{\circ}19'$	$22^{\circ}59'$	$15^{\circ}47'$	$11^{\circ}58'$
100	$37^{\circ}22'$	$20^{\circ}54'$	$14^{\circ}17'$	$10^{\circ}48'$
110	$34^{\circ}46'$	$19^{\circ}08'$	$13^{\circ}02'$	$9^{\circ}50'$
120	$32^{\circ}28'$	$17^{\circ}39'$	$11^{\circ}58'$	$9^{\circ}02'$

Tabulka 3.1 Hodnoty polovičního úhlu křížení v závislosti na průměru a počtu chodů rozvaděče u kužele A

Kužel B $d_o = 50 \text{ mm}, D = 150 \text{ mm}, l = 109,04 \text{ mm}$ 

označení	$B_{0,5}$	$B_1$	$B_{1,5}$	$B_2$
$d / \text{mm}/$	$c = 0,5$	$c = 1$	$c = 1,5$	$c = 2$
50	$56^{\circ}47'$	$37^{\circ}22'$	$26^{\circ}59'$	$20^{\circ}54'$
60	$51^{\circ}51'$	$32^{\circ}28'$	$22^{\circ}59'$	$17^{\circ}39'$
70	$47^{\circ}30'$	$28^{\circ}37'$	$19^{\circ}59'$	$15^{\circ}15'$
80	$43^{\circ}40'$	$25^{\circ}31'$	$17^{\circ}39'$	$13^{\circ}25'$
90	$40^{\circ}19'$	$22^{\circ}59'$	$15^{\circ}47'$	$11^{\circ}58'$
100	$37^{\circ}22'$	$20^{\circ}54'$	$14^{\circ}17'$	$10^{\circ}48'$
110	$34^{\circ}46'$	$19^{\circ}08'$	$13^{\circ}02'$	$9^{\circ}50'$
120	$32^{\circ}28'$	$17^{\circ}39'$	$11^{\circ}58'$	$9^{\circ}02'$
130	$30^{\circ}26'$	$16^{\circ}22'$	$11^{\circ}04'$	$8^{\circ}21'$
140	$28^{\circ}37'$	$15^{\circ}15'$	$10^{\circ}18'$	$7^{\circ}46'$
150	$26^{\circ}59'$	$14^{\circ}17'$	$9^{\circ}38'$	$7^{\circ}15'$

Tebulka 3.2 Hodnoty polovičního úhlu křížení v závislosti na průměru a počtu chodů rozvaděče u kužele B

Kužel C $d_o = 60 \text{ mm}, D = 180 \text{ mm}, l = 103,92 \text{ mm}$ 

<u>označení</u>	$c_{0,5}$	$c_1$	$c_{1,5}$	$c_2$
$d / \text{mm} /$	$c = 0,5$	$c = 1$	$c = 1,5$	$c = 2$
60	$51^{\circ}51'$	$32^{\circ}28'$	$22^{\circ}59'$	$17^{\circ}39'$
70	$47^{\circ}30'$	$28^{\circ}37'$	$19^{\circ}59'$	$15^{\circ}15'$
80	$43^{\circ}40'$	$25^{\circ}31'$	$17^{\circ}39'$	$13^{\circ}25'$
90	$40^{\circ}19'$	$22^{\circ}59'$	$15^{\circ}47'$	$11^{\circ}58'$
100	$37^{\circ}22'$	$20^{\circ}54'$	$14^{\circ}17'$	$10^{\circ}48'$
110	$34^{\circ}46'$	$19^{\circ}08'$	$13^{\circ}02'$	$9^{\circ}50'$
120	$32^{\circ}28'$	$17^{\circ}39'$	$11^{\circ}58'$	$9^{\circ}02'$
130	$30^{\circ}26'$	$16^{\circ}22'$	$11^{\circ}04'$	$8^{\circ}21'$
140	$28^{\circ}37'$	$15^{\circ}15'$	$10^{\circ}18'$	$7^{\circ}46'$
150	$26^{\circ}59'$	$14^{\circ}17'$	$9^{\circ}37'$	$7^{\circ}15'$
160	$25^{\circ}31'$	$13^{\circ}25'$	$9^{\circ}02'$	$6^{\circ}48'$
170	$24^{\circ}11'$	$12^{\circ}39'$	$8^{\circ}31'$	$6^{\circ}24'$
180	$22^{\circ}59'$	$11^{\circ}58'$	$8^{\circ}03'$	$6^{\circ}03'$

Tabulka 3.3 Hodnoty polovičního úhlu křížení v závislosti na průměru a počtu chodů rozvaděče u kužele C

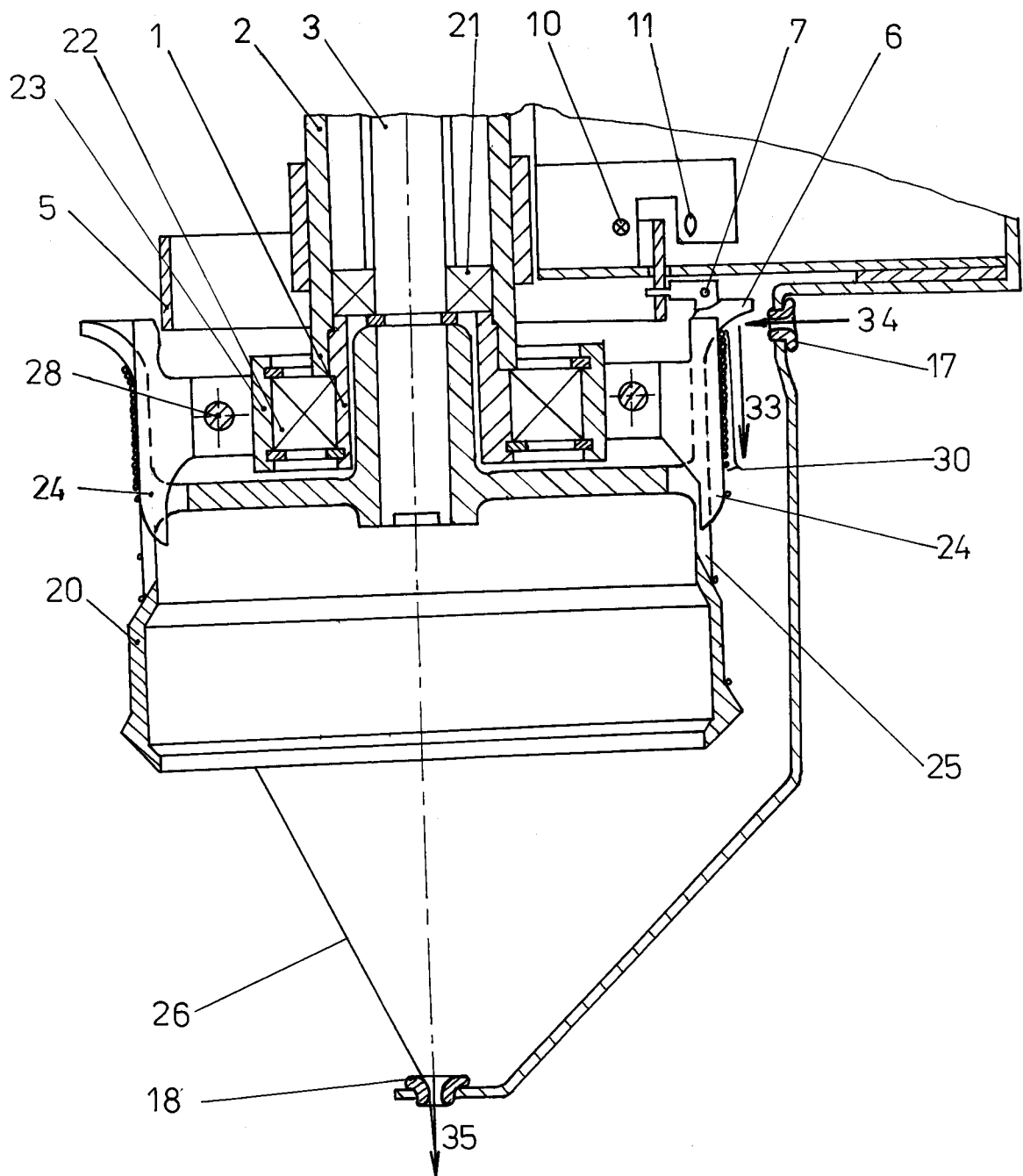
Výpočet tvaru drážky rozvaděče s přihlédnutím ke všem faktorům, které tento tvar ovlivňují se zatím neodesířilo provést. Proto se dnes ještě tvar drážky většinou určuje experimentálně.

Další výpočty a výkresy jsou zpracovány pro kužel B.

### 3.3 Podavač příze

Sprádní jednotka nám produkuje příze konstantní rychlostí, ale příze je na raketovou cívku, vzhledem k velmi rozdílným obvodům a konstantní rychlosti otáčení cívek, navijena rychlostí velmi proměnlivou. K regulaci této velkých rozdílů v rychlostech jsem použil podavač nití vycházející z PV 1667 - 86, PV 6656 - 86

a PV 7299 - 86. /Literatura č. 1 - 3/ Základem podavače je část na obr. 3.8.



Obr. 3.8

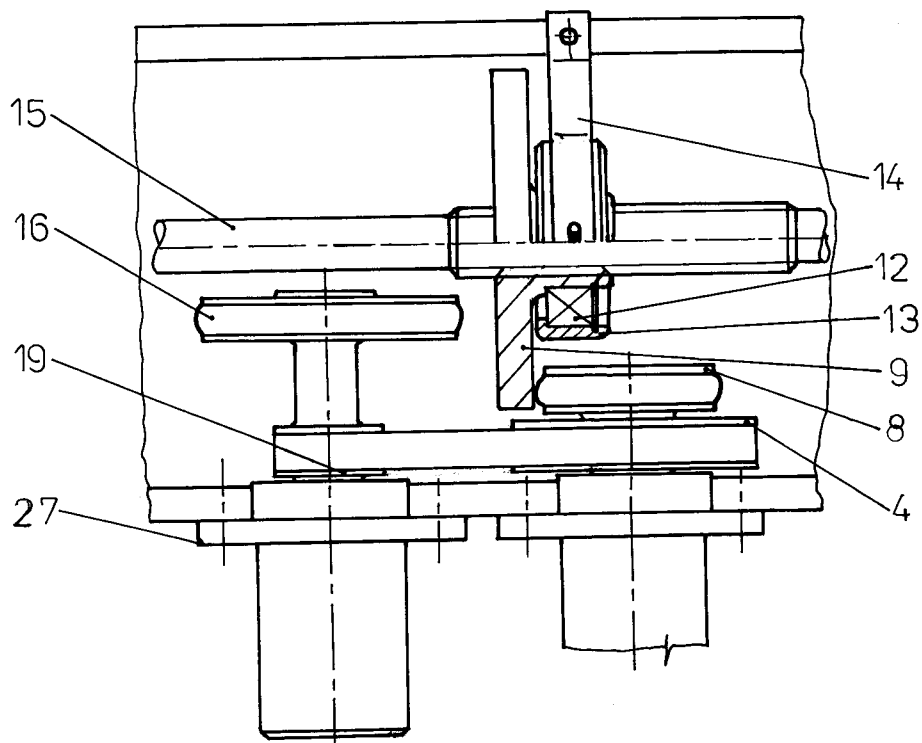
Bez svolení autorů nesmí být tento podavač nikde zveřejňován.

Na pouzdru 1 je excentricky a šikmo uloženo ložisko 22, na kterém je umístěna obíjmka 23 a na ní je otočně

na čerech 28 uloženo několik podávacích ramének 24. Tato podávací raménka 24 jsou pohyblivě uložena v drážkách 25 bubínku 20. Příze 26 je přiváděna tangenciálně k povrchu bubínku 20 vodičem 17 ve směru 34 a odváděna osově vodičem 18 ve směru 35. Část zařízení od pouzdra 1 až po podávací raménka 24 tvoří transportní zařízení, které klede oviny příze 30 vedle sebe a posouvá příze ve směru 33 díky relativnímu pohybu podávacích ramének 24 vůči bubínku 20, tj. bubínek 20 koná pohyb centrický a podávací raménka 24 pohyb excentrický. Jestliže není na podavači žádná příze nebo jen velmi málo ovinů, pak se díky této kroužku 5 otočí páčky 6, kterých je několik ve výrezech 25 upevněných pomocí čepů 7 na bubínku 20, kolem čepů 7 proti směru hodinových ručiček, tj. kroužek 5 klesne dolů a světelné paprsky mohou procházet z luminiscenční diodv 10 z fototranzistoru 11. Tahem většího množství ovinů 30 příze 26 na povrchu bubínku 20 a páčkách 6 je vytvořen větší moment sil kolem čepu 7 od příze, než od této kroužku 5. Tím dojde k přesunutí kroužku 5 směrem nahoru a tím k přerušení toku paprsků od luminiscenční diodv 10 k fototranzistoru 11. Tím je dáno povel k zapnutí náhonu kuželového rozvaděče a tedy máhonu cívky.

Hřídel 3, na které je nevně uložen bubínek 20, je uložena ve 2 ložiskách 21, které jsou uloženy v tělese příruby 2, pomocí které je podavač připevněn k nosníku. Na této hřidle 3 je nevně uložena řemenice 4 pro zpětný chod a třecí kotouč 8, který je voháněn od hřidele 15, který je veden přes celý stroj, pomocí třetího kotouče 9. Tento kotouč je přesouván po drážkovém hřidle pomocí ložiska 12, které je chyceno v kroužku s čepy 13, jenž jsou uchyceny ve výrezech vidličky 14. Pomocí této vidličky 14 je zajistován přitlak kotouče 9 na kotouč 8. V případě přetrhu příze mezi spřádní jednotkou a podavačem vysle čidlo přetrhu na spřádní jednotce signál a dá povel k odtažení kotouče 9 do polohy I. Kvůli zapředení je nutno příze snést až do spřádní jednotky. V tom případě vyhledá AČZ konec příze na podavači a k odvinutí

příze z podavače slouží jeho znětný chod, který je zapřevodován do pomala /Obr. 3.9/.

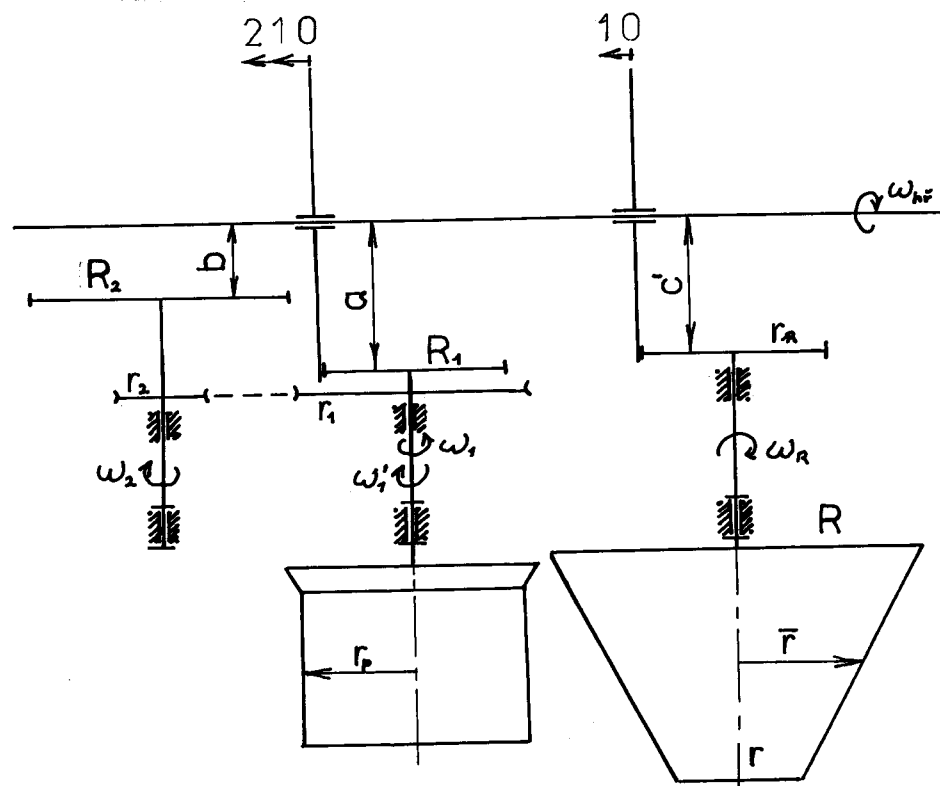


Obr. 3.9

Tento znětný chod s převodem je řešen tak, že při přesunutí kotouče 9 do polohy II se začne pohánět třecí kotouč 16, který je pevně uložen na hřídeli 29 společně s řemenicí 19. Hřídel 29 je uložena v přírubě 27 pomocí ložisek 31 a 32. Z řemenice 19 se přes ozubený řemen pohání hřídel 3 podavače. Bubínek 20 podavače se pak otáčí opačným směrem než při normálním provozu s 4,375 krát menší rychlostí.

Navíjecí rychlosť na podavač, tj. odtauhová rychlosť od srovnávající jednotky je o něco nižší, než je průměrná navíjecí rychlosť na raketovou cívku, čímž se zajistí kontinuelní srádací proces, neboť při výměně plné cívky za prázdnou dutinku může srádací proces bez přerušení pokračovat a nahromaděná příze se z podavače při navíjení odčerpá.

3.4. Výpočty mášonů podavače a rozvaděče



Obr. 3.10

Rozměry:  $r_p = 44 \text{ mm}$   
 $r_1 = 30 \text{ mm}$   
 $R_1 = 25 \text{ mm}$   
 $R_2 = 35 \text{ mm}$   
 $r_2 = 12 \text{ mm}$   
 $r_R = 25 \text{ mm}$

$a = 40 \text{ mm}$   
 $b = 20 \text{ mm}$   
 $c' = ?$   
 $\omega_1 = ?$   
 $\omega_2 = ?$   
 $\omega'_1 = ?$

Pro kužel B:  $r_\theta = 50 \text{ mm}$   
 $R = 150 \text{ mm}$   
 $\bar{r} = 100 \text{ mm}$

Jestliže vycházím z odtahové rychlosti u současného stroje BDA 10, pak

$$v_o = 162,0 \text{ m/min}^{-1} = 0,398 \text{ m/s}^{-1}$$

$$\omega_{hř} = \frac{R_1}{a \cdot r_p} \cdot v_o = 19,176 \text{ s}^{-1} \quad /3.9/$$

Znětný chod:

$$\omega'_1 = \frac{r_2 \cdot b}{r_1 \cdot R_2} \cdot \omega_{hř} = 4,38 \text{ s}^{-1} \quad /3.10/$$

Převod do pomala:

$$i = \frac{\omega_{hř}}{\omega_i} = \frac{r_1 \cdot R}{r_2 \cdot b} = 4,375 \quad /3.11/$$

Rychlosť navijení příze na cívku pomocí rozvaděče bude o něco vysší, než odtaiovací rychlosť od spřádní jednotky

$$\omega_R > \frac{v_o}{R}$$

$$c' = \frac{\omega_R \cdot r_R}{\omega_{hř}} = 0,0352 \text{ m} \quad /3.12/$$

Volím...  $c' = 37 \text{ mm}$

$$R = \frac{c'}{r_R} \cdot \omega_{hř} = 14,19 - 28,38 \text{ s}^{-1} \quad /3.13/$$

Průměrná navijecí rychlosť:

$$v_N = 10,42 - 2,84 \text{ m.s}^{-1}$$

Navijecí rychlosť na cívku je 1,05 krát vysší než odtaiová rychlosť od spřádní jednotky.

### 3.5 Princip stroje pro návin raketových cívek

Pro návin raketových cívek na stroj BDA 10 zůstává spodní část sekce zachována a překonstruována byla pouze horní část odtaiových a navijecích mechanismů.

Pramen, který je stroj předkládán v konvi, vstupuje do spřádní jednotky. Odtud je odtaiován skrz čidlo přetahu přes kanál třetí ruky bubínkem podavače. Ten navijí přízi, ukládá ji v závitech vedle sebe a posouvá po bubínku směrem dolů. Odtud je příze odtaiována přes hlavu bubínku rozvaděčem proměnlivou rychlostí. Z podavače je příze odtaiována přes očko podavače a přes vodič příze, který může zároveň sloužit jako čidlo přetahu příze mezi podavačem a cívkou. Vodičem příze pokračuje přes kuželový rozvaděč na cívku. Kuželový rozvaděč rozvádí přízi rovnoměrně po kuželu cívky. Cívka ustupuje nahoru

po vedení, což je trubka s drážkou.

Pro špatnou přístupnost cívky je třeba stroj vyba-vit smekacím zařízením. Odstraňování přetrhů lze prová-ďet buď ručně nebo stroj vzbavit automatem čištění a zapřádání. Řez strojem s naznačenou automatikou je v příloze č.4. Plné cívky jsou doprovovány na konec stroje středem pomocí dopravníku. Prázdný dopravník se pohybuje spodní částí stroje mezi konvemi s pramenem. Plné cívky smeká smekací zařízení, které plnou cívku uloží na dopravník a na její místo uloží prázdnou duš-tinku, jenž jsou doprovovány do mezi poloh mezi cívками. Smekací zařízení by pravděpodobně bylo pro každou stranu stroje jedno. Okolo celého stroje by pojízděl jeden automat čištění a zapřádání.

#### 4.0 Závěr

V první části mé práce jsem stručně vopsal současný československý bezvřetenový doprásadací stroj BDA 10 a do tabulek jsem zpracoval rozměry, hmotnosti a další parametry tohoto stroje.

Ideovým návrhem návinu raketové cívky jsem se zabýval v druhé části diplomové práce. Při navíjení jsem vzhledem k velké výšce raketové cívky, dutinky částečně zapustil mezi kanály odvodu technologického vzduchu a nečistot a mezi náhon rotorů spřádních jednotek až po připojnice spřádních jednotek. Navíjení příze je v souladu s pomocí kuželového rozvaděče, který zároveň slouží jako náhon cívky. Dutinka cívky je uchycena otočně na obou konecích a s přibývajícím návinem ustupuje nahoru. Regulace velkých rozdílů navíjecí rychlosti vůči konstantní odtaiové rychlosti je přes podavač příze, který je obdobou podavačů na pletacích strojích. Rozvaděč i podavač jsou naháněny pomocí třecích kotoučů od společného hřídele, který je veden přes celý stroj.

Raketová cívka není moc rozšířená a pravděpodobně ani tak velkého rozšíření jako válcová nebo kuželová cívka nezaznamená. Domnívám se, že by však mohla najít uplatnění např. u silnějších kobercových přízí, apod.

Na závěr práce jsem schematicky naznačil prostory, kudy by mohly být dopravovány plné cívky a prázdné dutinky a kudy by pojízděly SMZ a AČZ.

Literatura:

1. Machaň O., Prášil V., Vitamvás Z., Svatý V.: Zařízení pro regulaci podávacího zařízení na textilních strojích. PV 1667-86
2. Machaň O., Prášil V., Vitamvás Z.: Způsob kladení nitě na podavače nebo odvíječe textilních strojů. PV 6656-86
3. Machaň O., Prášil V., Vitamvás Z.: Náhon podavačů pro velkopružměrové pletací stroje nebo jiné textilní stroje. PV 7299-86
4. Návod k obsluze BDA 10
5. Prášil V.: Teorie tkaní /Skripta/, část I., Příprava materiálu ke tkaní.
6. Rohlena V.: Bezvřetenové předení.

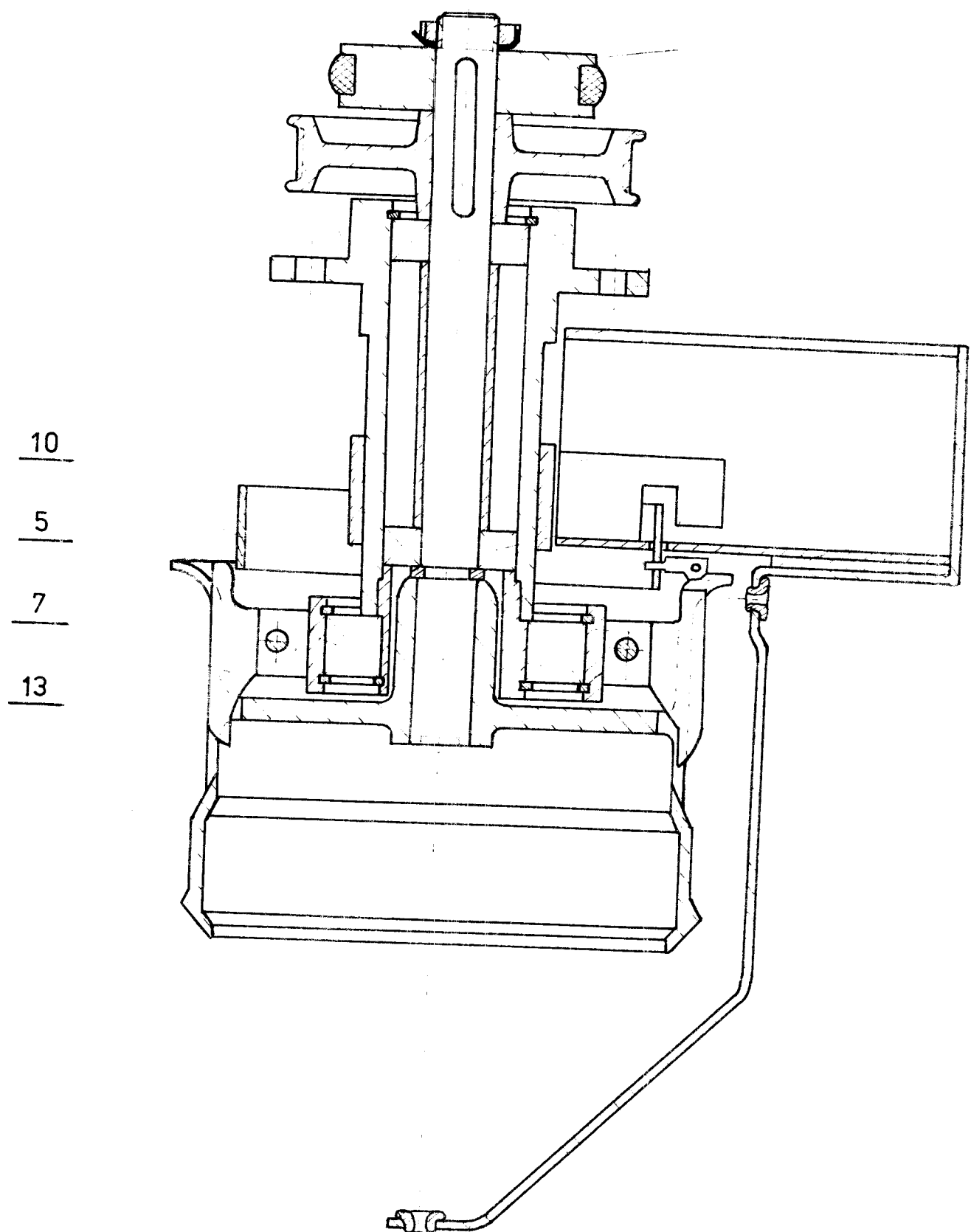
1. Čínské výrobky  
2. Výrobky západních zemí  
3. Výrobky západních zemí  
4. Výrobky západních zemí  
5. Výrobky západních zemí  
6. Výrobky západních zemí  
7. Výrobky západních zemí  
8. Výrobky západních zemí  
9. Výrobky západních zemí  
10. Výrobky západních zemí

BERGER Berger učebna

11. 5. 1987

RAKETOVÁ CÍVKA  
NA STROJI BDA 10

KTS-098-01



BERGER

Berger *viscans*

11.5.1987

## PODAVAC PŘÍZE

KTS - 098 - 02

- 1 Hřídel  
2 Ložisko hřídele  
3 Příruba  
4 Excentrický kroužek  
5 Ložisko ramének  
6 Kroužek ramánek  
7 Raménko  
8 Růbínek  
9 Páčka  
10 Kroužek  
11 Čidlo  
12 Očko přiváděcího přízí  
13 Očko odváděcího přízí  
14 Řemenice  
15 Přední kotouč

BERGER	Richard				
--------	---------	--	--	--	--

11.5.1992

- 1 Speciální část sekcce stroje
- 2 Kanál třetí ruky
- 3 Podavač příze
- 4 Nosník podavače a rozvaděče
- 5 Hnací hřídel podavače a rozvaděče
- 6 Kuželový rozvaděč
- 7 Trubka vedení cívky
- 8 Vnitřní posuvné vedení cívky
- 9 Spodní vedení cívky
- 10 Cívka

Předložené dokumenty jsou určeny k archivaci  
a nejsou určeny k kopii.  
Příjem: *[Signature]* Datum: *[Signature]*

Město:

BERGER

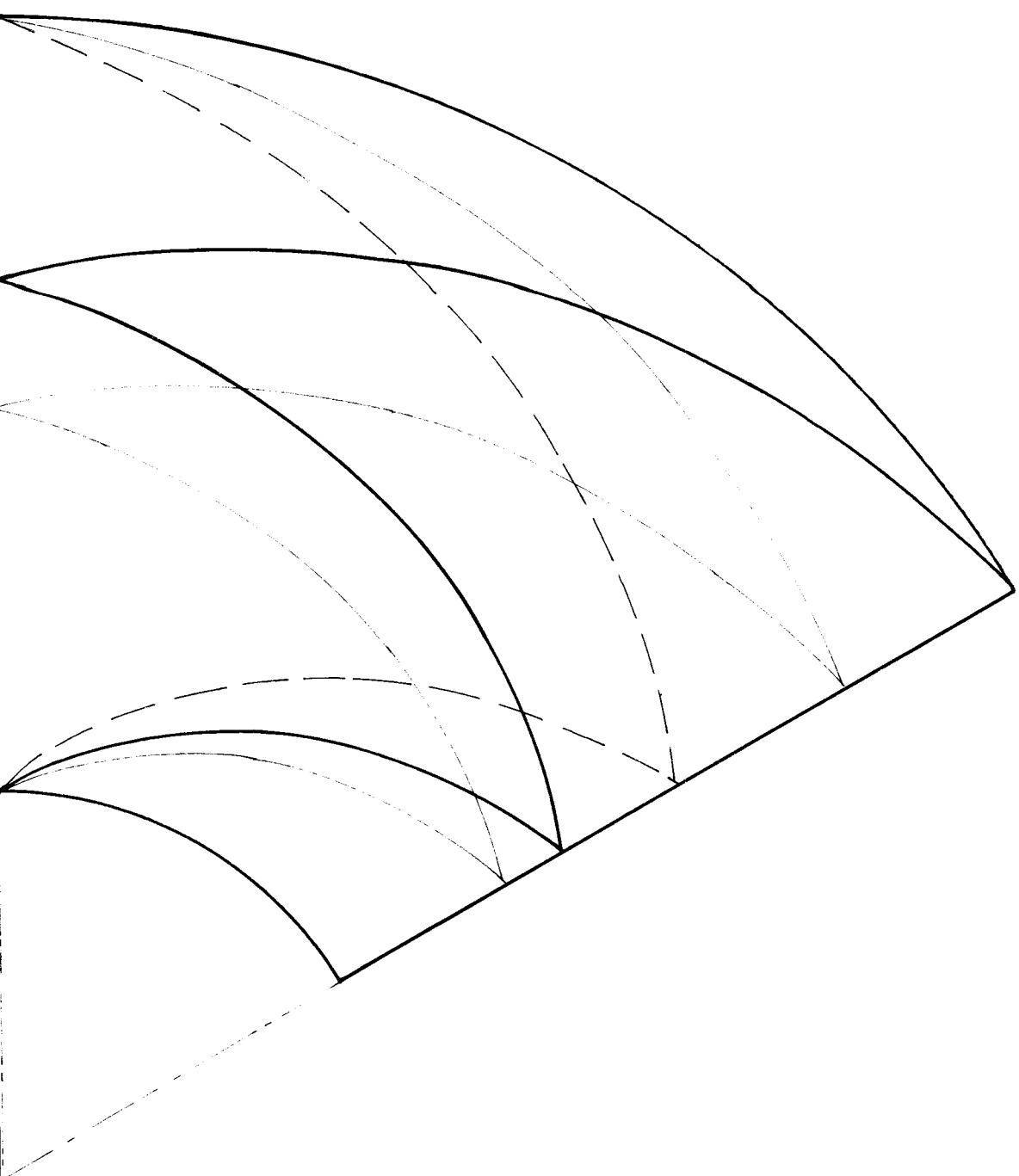
Berger Richard

11. 5. 1987

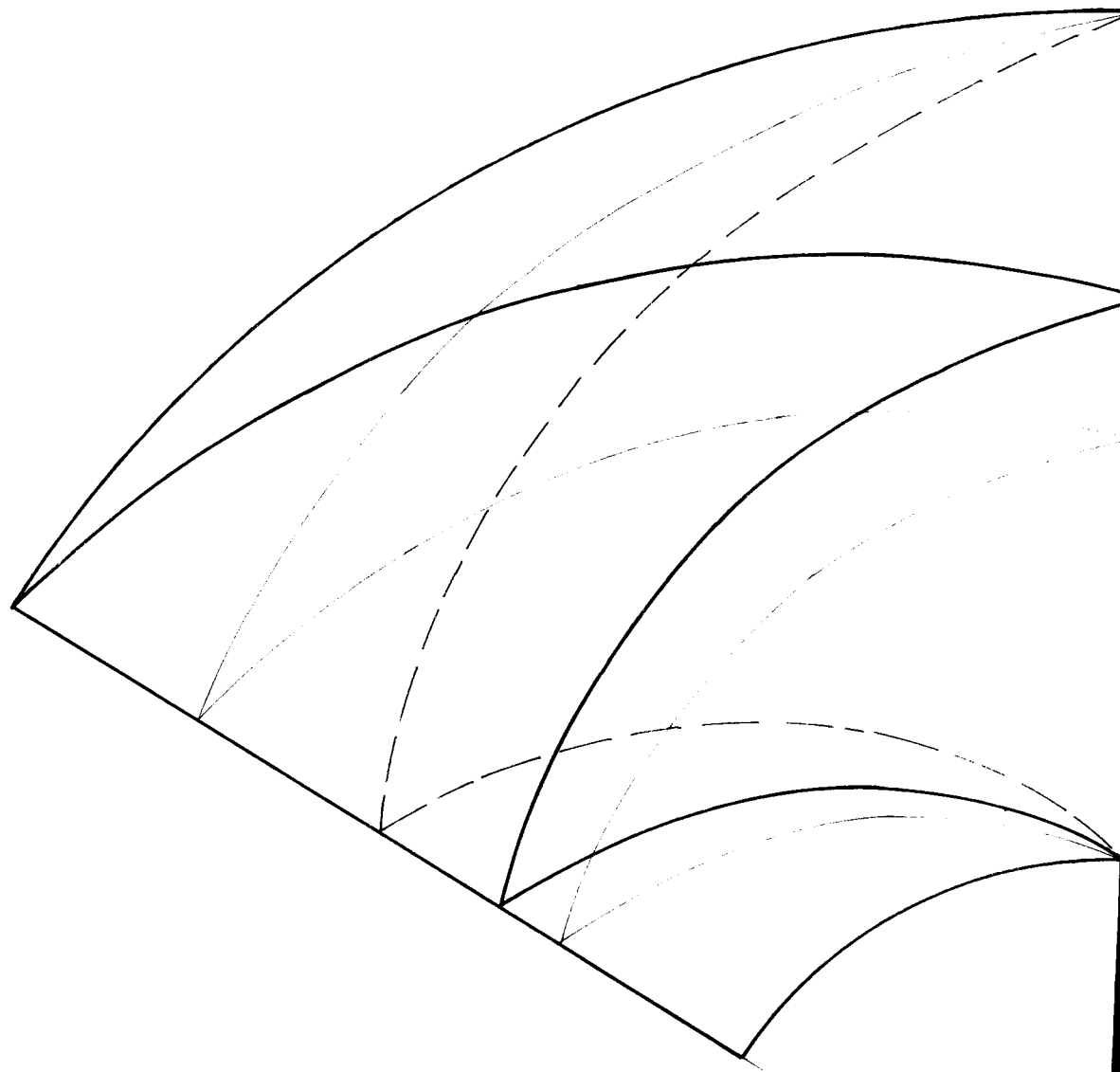
Středisko  
LISBAREC

RAKETOVÁ CÍVKA  
NA STROJI BDA 10

KTS-098-01



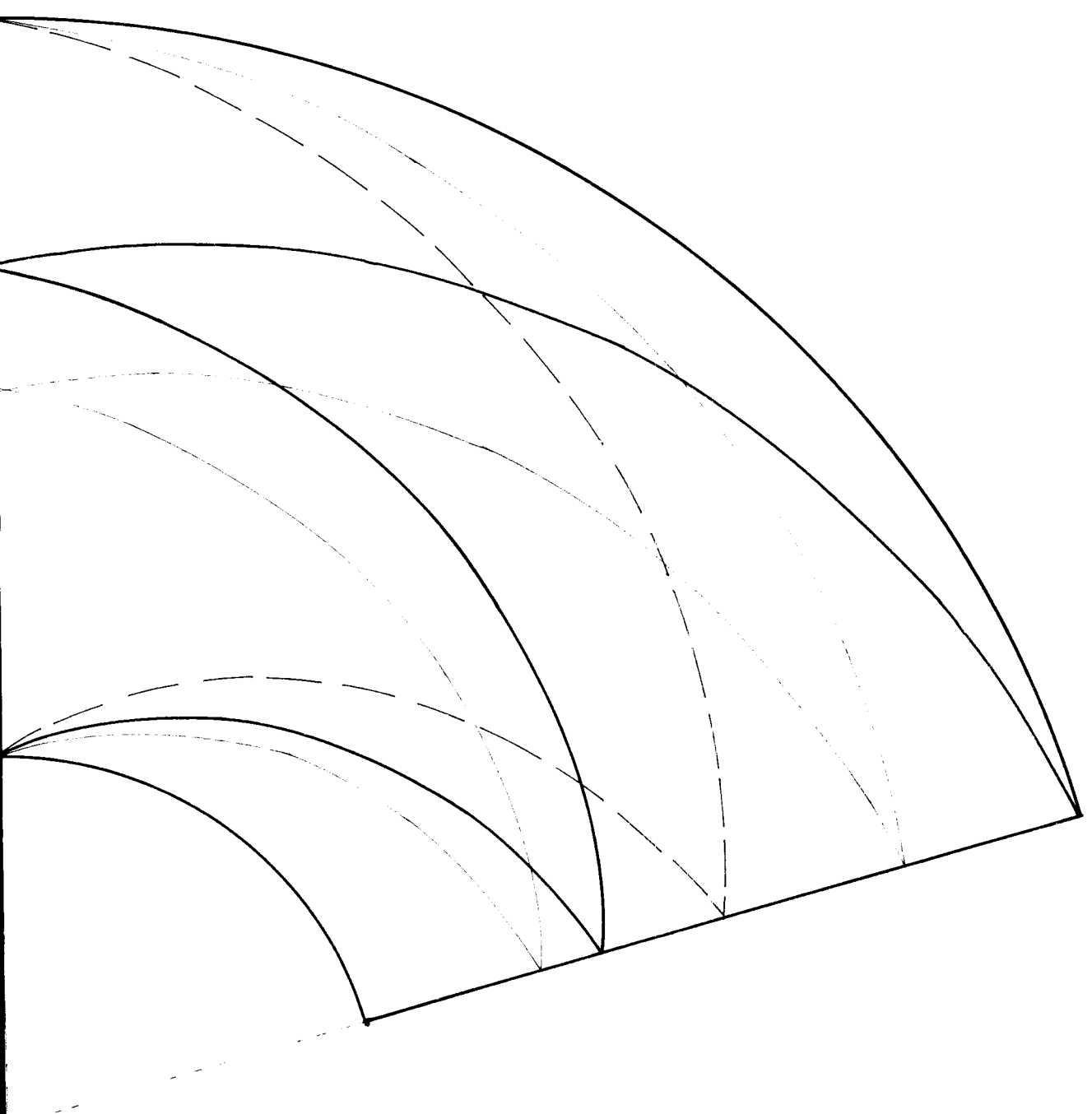
PŘÍLOHA č. 1



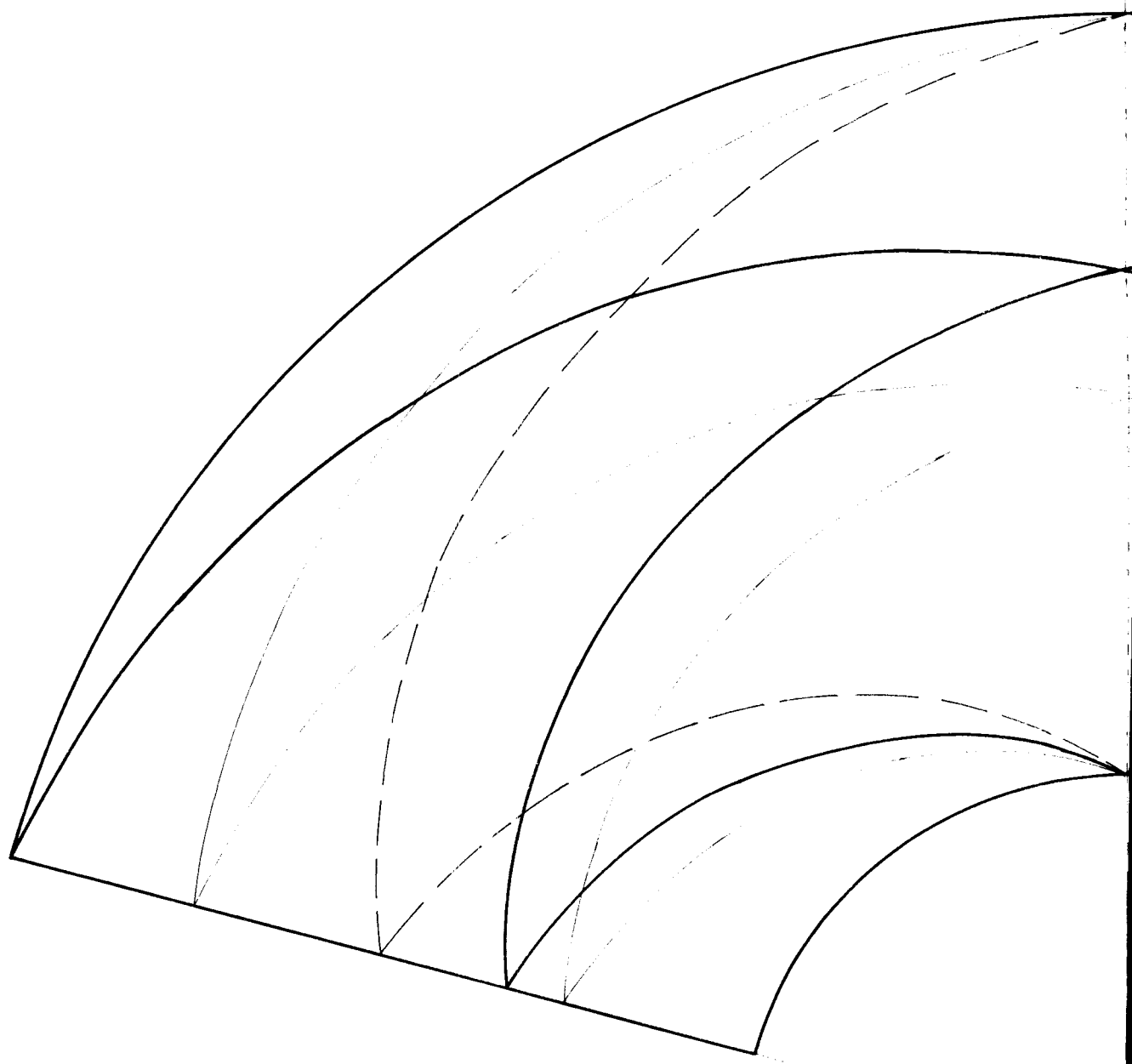
$A_1$  -----

$A_{1,5}$  -----

$A_2$  -----



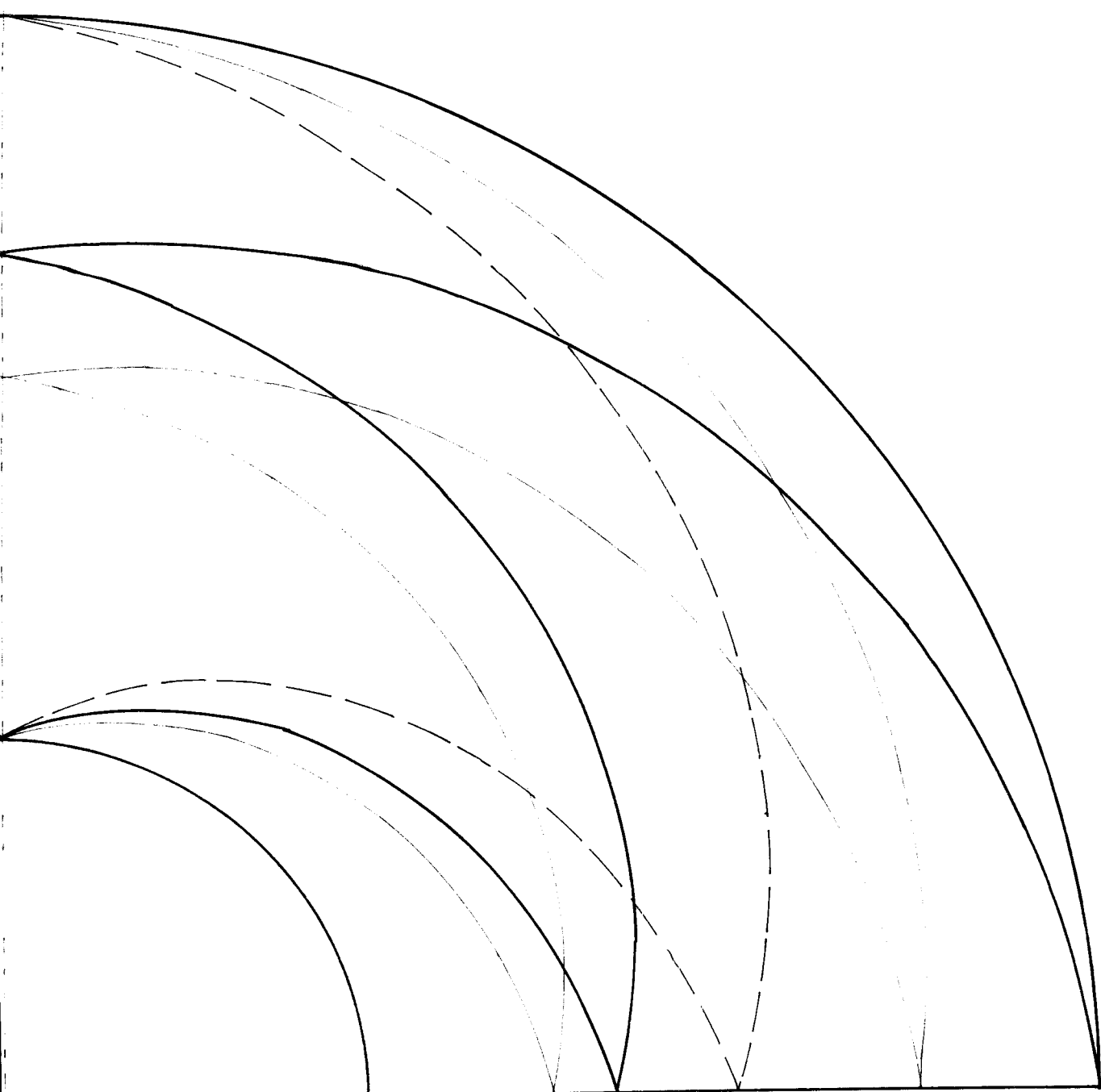
PŘÍLOHA č.2



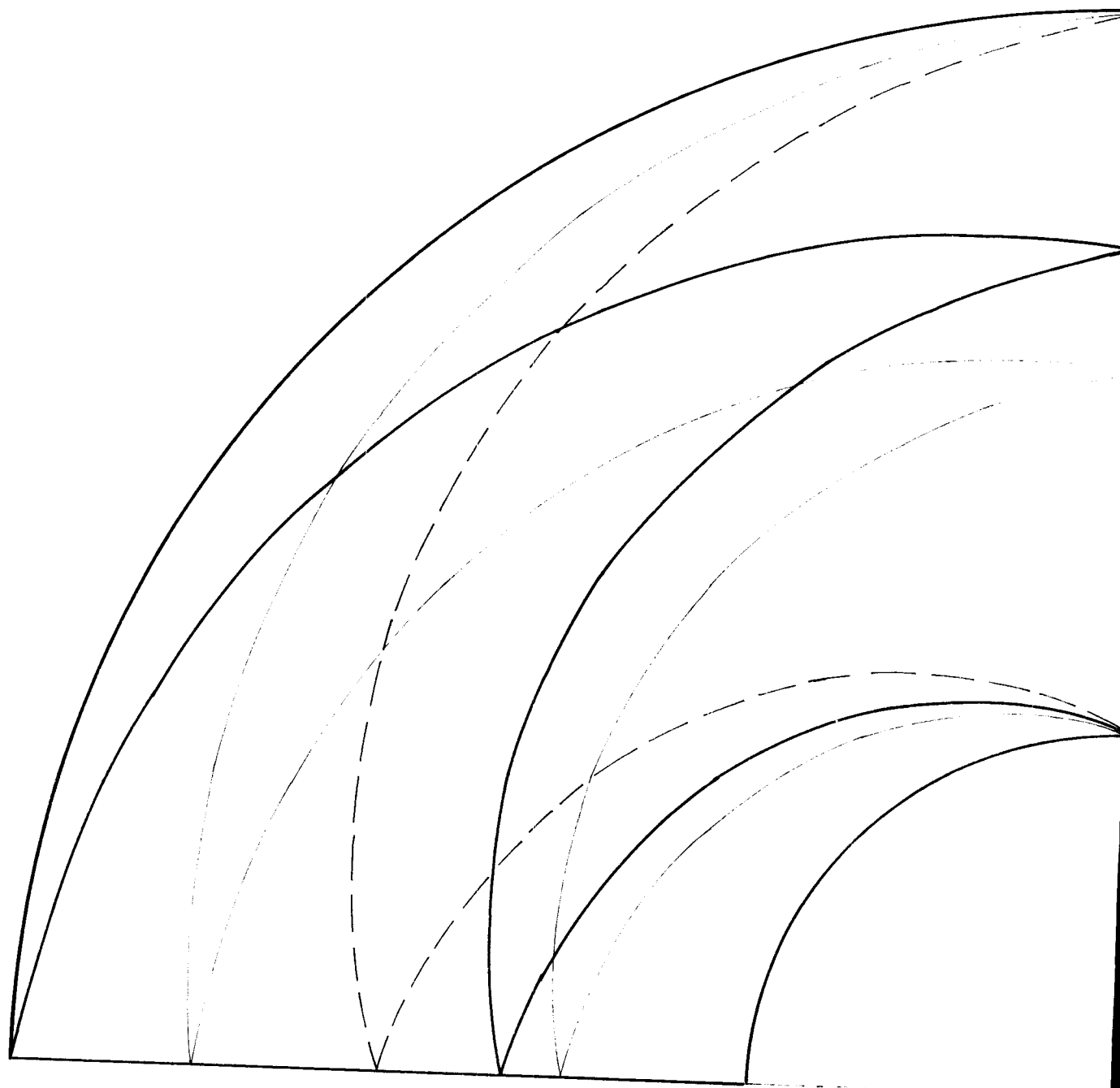
$B_1$  ——

$B_{1,5}$  ——

$B_2$  ——



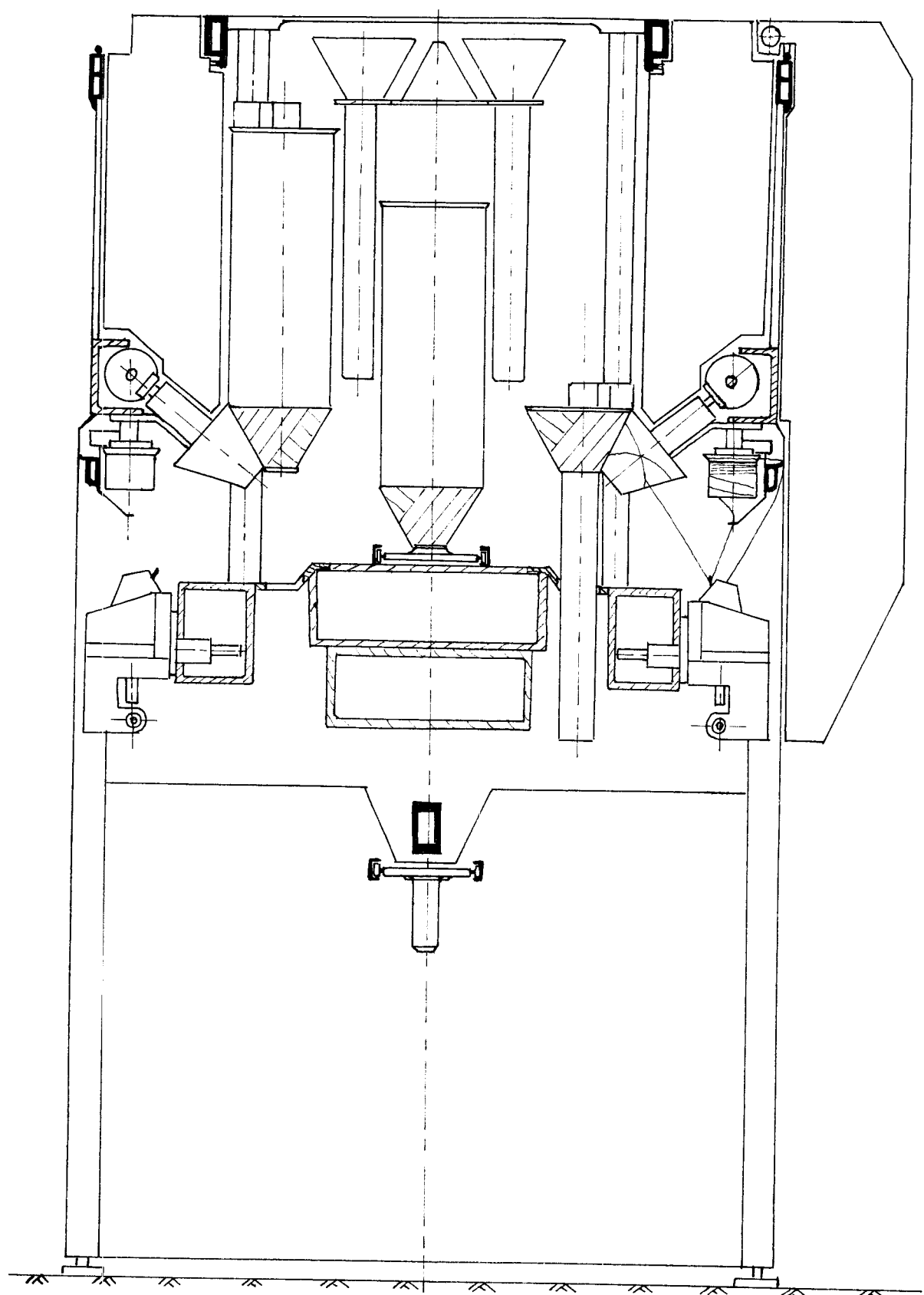
PŘÍLOHA č. 3



$C_1$  -----

$C_{1,5}$  -----

$C_2$  -----



PŘÍLOHA Č. 4